

# تحلیل دقیق تنش‌های میان‌رویه در تیر بتن مسلح تقویت شده با ورق پیشانی

Original Article

محمد عدالی<sup>\*</sup> (استادیار)

دانشکده فنی و هندسی، دانشگاه ایلام

فریدون ایوانی (استاد)

دانشکده هندسی عمران، دانشگاه فردوسی مشهد

مهمنگی عمران شرف  
دوری ۳-۸، شماره ۱۰، ص ۱۳۶۴

در این نوشتار از روشی تحلیلی برای محاسبه تنش‌های برشی و قائم در میان‌رویه‌ی تیرهای بتن مسلح (RC)<sup>۱</sup> تقویت شده با ورق‌های FRP<sup>۲</sup> یا فولادی استفاده شده است. از آنجا که ترکیب پیشانی‌ی تنش‌های برشی و قائم میان‌رویه، در نزدیکی انها ورق‌های تقویتی FRP یا فولادی به وجود می‌آید، بنابراین بروز پدیده‌ی جداشدنی در این محل تشدید می‌شود و ممکن است سبب شکست ناگهانی در این سازه‌ها شود. در اینجا اثرات تعییرشکل‌های برشی در هر سه سازه (تیر بتنی، ورق تقویت و لایه‌ی چسبنده) کاملاً درنظر گرفته شده است. از این رو تیر بتن مسلح مرکب به صورت تیر تیموشنکو فرض می‌شود. به کارگیری فرضیات تیر تیموشنکو به یافتن یک زوج معادلات مزبور در ادبیات مهندسی، دوم و چهارم معمولی با ضرایب ثابت منجر می‌شود. معادلات مزبور در ادبیات مهندسی، دستگاه معادلات دیفرانسیل درگیر نمایده می‌شوند که به صورت تحلیلی و بدون حذف بخش‌هایی از آن‌ها حل شده‌اند. این نوشتار به درک اثرات تنش‌های میان‌رویه بر رفتار سازه‌های بتن مسلح تقویت شده با ورق‌های FRP<sup>۳</sup> یا فولادی، کمک شایانی می‌کند. سرانجام، سازگاری نتایج موجود و بدست آمده حاکی از آن است که دقت روش پیشنهادی در تعیین تنش‌های برشی و قائم در مرز مشترک دو ماده‌ی متفاوت، کاملاً پذیرفتنی است.

edalati.mahmoud@mail ilam.ac.ir  
iranian@um.ac.ir

واژگان کلیدی: تنش‌های برشی و قائم میان‌رویه، ورق‌های تقویتی FRP با فولادی، تیر RC، معادلات دیفرانسیل درگیر.

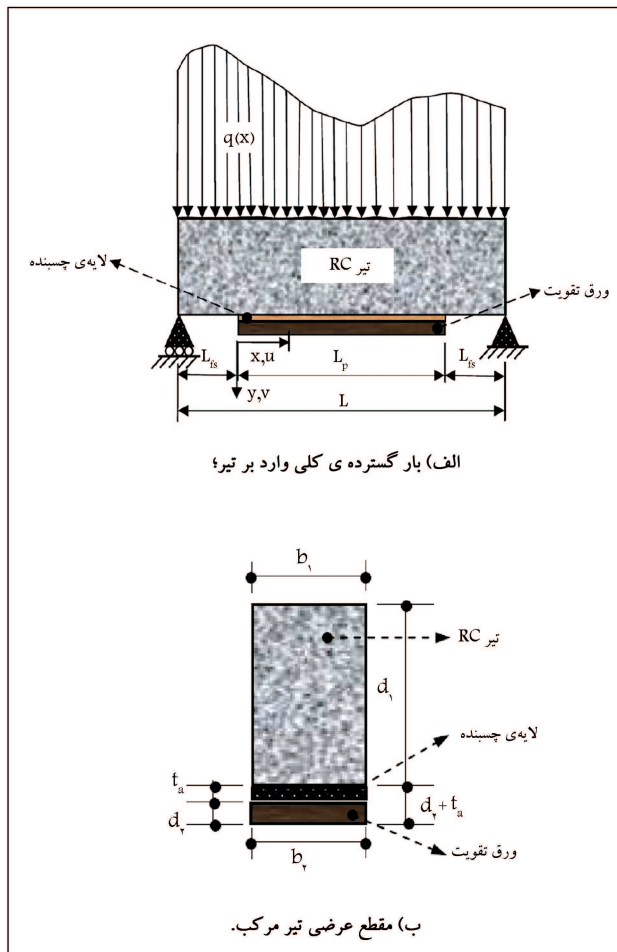
## ۱. مقدمه

این رو یافتن پاسخ بار شکست جداشدنی، حائز اهمیت است. پدیده‌ی جداشدنی به شدت تمرکز تنش‌های برشی و قائم در سطح میان‌رویه تیر با ورق‌های تقویت بستگی دارد.<sup>[۱]</sup> بنابراین، تعیین تنش‌های مزبور در دو دهه‌ی گذشته برای تیرهای تقویت شده با ورق‌های FRP<sup>۴</sup> با فولادی مورد کاوش پژوهشگران قرار گرفته است. در این میان، روش‌های صریحی که با روابط نسبتاً ساده‌بی به موضوع تعیین تنش‌های برشی و قائم پرداخته‌اند، به چشم می‌خورد.<sup>[۵-۶]</sup> این روابط بر پایه‌ی فرضیات ساده‌بی که پیشتر به لایه‌ی چسبنده مربوط است، ارائه شده‌اند. از این فرضیات می‌توان به ثابت بودن تنش‌های برشی و قائم در هر دو سوی ماده‌ی چسبنده اشاره کرد.

مطالعات متعددی برای تعیین تنش‌های میان‌رویه به صورت تئوری، عددی و با ترکیب هم‌زمان این دو<sup>[۷-۱۰]</sup> و همچنین مطالعه‌ی مقابله‌بی و بسیار سودمند بر روی فرضیات، مزیت‌ها، و کاستی‌های روش‌های عمده‌ی به کاررفته در تعیین تنش‌های برشی و قائم انجام شده است.<sup>[۱]</sup> در اغلب بررسی‌های انجام شده، اثرات تعییرشکل‌های محوری، خمشی، و برشی به طور هم‌زمان در نظر گرفته نشده است. در پاره‌بی اندک از آن‌ها نیز، که اثر تعییرشکل‌های برشی وارد شده است، این اثر را به گونه‌بی ناقص در هر سه (تیر اصلی، چسب و ورق تقویت) به طور غیرهم‌زمان

تحلیلی بدون در نظر گرفتن اثر کامل تعییرشکل‌های برشی به منظور تعیین تنش‌های میان‌رویه ارائه کرده‌اند.<sup>[۱]</sup> در سازه‌های تقویت شده با ورق‌های FRP یا فولادی، جداشدنی ورق‌ها در انتهای آن‌ها از سطح تیر به مدد شکست چالش برانگیزی تبدیل شده است، به گونه‌یی که از رسیدن تیر تقویت شده به مقاومت خمشی نهایی کامل آن جلوگیری می‌کند. از

\* نویسنده مسئول  
تاریخ: دریافت ۲۷/۱۱/۱۳۸۸، اصلاحیه ۱۸/۱۲/۱۳۸۹، پذیرش ۲۲/۱/۱۳۹۰.



شکل ۱. تیر بتن مسلح دوسر ساده‌ی تقویت شده با ورق پیشمانی.

فاصله‌ی هر یک از تکیه‌گاه‌های تیر از ابتدا و انتهای ورق تقویت برابر  $L_{f,s}$  فرض می‌شود. از آنجاکه در این مطالعه محدودیتی برای جنس مصالح تقویت اعمال نشده است، بنابراین ورق‌های تقویت را می‌توان غیر از FRP یا فولادی نیز درنظر گرفت. ابعاد مقطع عرضی تیر مزبور در شکل ۱ نشان داده است. در این شکل،  $b_1$  و  $b_2$  به ترتیب بیان‌گر عرض تیر RC و عرض ورق تقویت هستند ( $b_1 \leq b_2$ ). در این مطالعه عرض لایه‌ی چسبنده،  $b_a$ ، با عرض ورق تقویت،  $b_2$ ، یکسان است. همچنین در شکل ۱،  $d_1$ ،  $d_2$  و  $t_a$  به ترتیب ضخامت‌های تیر پتنی، ورق تقویت، و لایه‌ی چسبنده هستند. به طورکاری در شکل ۱، مصالح پتنی با پانویس ۱ و ورق تقویت با پانویس ۲ تعریف شده‌اند.

فرضیات زیر در بدست آوردن روابط حاکم اعمال شده است:<sup>[۱۰, ۱۱]</sup>

- تمام مصالح با رفتارکشسان خطی فرض شده‌اند.
- نتش‌های برشی و قائم در ضخامت لایه‌ی چسبنده ثابت هستند.
- تغییرشکل‌های ناشی از لنگرهای خمشی، نیروهای برشی، و محوری در هر دو تیر پتنی و ورق تقویت درنظر گرفته شده است.
- از اثر نتش‌های قائم بر روی ضخامت لایه‌ی چسبنده چشم‌پوشی شده است، به گونه‌یی که انحنای تیر پتنی و ورق تقویت یکسان فرض شده‌اند.
- پیوستگی کامل در میان رویه‌ی اتصال ورق‌های تقویتی با تیر اصلی وجود دارد.
- از تغییرشکل‌های خمشی لایه‌ی چسبنده چشم‌پوشی شده است.

وارد شده است، یا به تحلیل دقیق و ارائه‌ی روابط ریاضی منجر شده است، و یا معادلات دیفرانسیل درگیر حاکم بر سیستم با حذف برخی از پارامترهای درگیرکننده به معادلات غیردرگیر تبدیل شده‌اند. عامل‌های یادشده می‌توانند به کسب نتایج با دقت نسبی منجر شوند. بهویژه در تیرهای کوتاه، اختلاف پاسخ‌های دیگر پژوهشگران با نتایج بدست آمده در این نوشتار، که عامل تغییرشکل‌های برشی در آن وارد شده است، بالاست. به طورکاری می‌توان گفت که در مقالات موجود، کلیه‌ی عوامل درگیر به صورت کامل دخالت داده نشده‌اند. در روش اسمیت و ننگ<sup>[۱]</sup> گرچه اثر تغییرشکل‌های برشی در تعیین معادلات دیفرانسیل حاکم بر سیستم به کار رفته است، اما در حل معادلات دیفرانسیل به‌منظور درگیرکردن آن‌ها از اثر مزبور چشم‌پوشی شده است. از سوی دیگر، در روش ینگ و وو<sup>[۲]</sup> با فرض پاره‌سازی معادلات دیفرانسیل به دو بخش مجزا (با و بدون اثر تغییرشکل‌های برشی)، و با تجمعی پاسخ‌ها از روش جمع اثمار قوا به حل آن‌ها پرداخته شده است. همچنین برای حل معادلات دیفرانسیل اضافی وابسته به اثر تغییرشکل‌های برشی، از دوتابع فرضی به صورت جملاتی از سری فوریه کسینوسی و سینوسی که با تابعی خطی ترکیب شده‌اند، به ترتیب برای تعیین نتش‌های برشی و قائم استفاده شده است. سرانجام با مک توابع فرضی مزبور و به کارگیری روش گالرکین، پاسخ‌های معادلات دیفرانسیل تعیین شده است.<sup>[۱]</sup> پاسخ‌های به دست آمده با این پیشینه دقت نسبی دارد.

در نوشتار حاضر با تأثیر تغییرشکل‌های برشی در هر سه جزء (تیر پتنی، لایه‌ی چسبنده، و ورق تقویت) به تعیین نتش‌های برشی و قائم در میان رویه پرداخته شده است. همچنین تیر بتن مسلح به صورت تیر تیموشنکو فرض شده است. به‌سبب به کارگیری تیر تیموشنکو بخش‌هایی به معادلات دیفرانسیل دیگر پژوهشگران افزوده شده است. نوشتار حاضر به ارائه تحلیل دقیق در تعیین نتش‌های برشی و قائم میان رویه، بدون کاهش بخشی جزئی از معادلات دیفرانسیل درگیر، پرداخته است. فرض تیر تیموشنکو به‌گونه‌یی وارد مسئله شده است که می‌توان از روابط تحلیلی به دست آمده هم برای تیرهای معمولی و هم برای تیرهای با طول دهانه‌ی کوتاه با اثرات تغییرشکل‌های برشی استفاده کرد. به عبارت دیگر در تیرهای با طول دهانه‌ی کوتاه، علاوه بر اثر ضربیت شکل برشی مقطع به‌منظور کاهش سختی برشی آن، از ضربیت کاهش دیگری که صلبیت خمشی معادل را به جای صلبیت خمشی حقیقی بر می‌گزیند، استفاده می‌شود. عدم اصلاح ضربیت کاهش سختی مقطع در تیرهای کوتاه با نسبت دهانه به عمق کوچک‌تر از پنج به پاسخ‌های اشتباه، و در تیرهای معمولی به تقریب در نتایج کسب شده منجر می‌شود. برای تیرهای با ساختار فشرده، افزایش در تغییرمکان به‌سبب تغییرشکل‌های برشی ممکن است به بیش از ۵۰٪ نیز برسد.<sup>[۲۳]</sup> این افزایش در تغییرشکل‌های پیش از وقوع پدیده‌ی جدالشگی سبب افزایش چشمگیر نتش‌های برشی و قائم تیموشنکو به اتحانی خمشی، اتحانی ناشی از اثر تغییرشکل‌های برشی نیز افزوده شود.

## ۲. فرضیات

تیر بتن مسلح دو سر ساده به طول  $L$  تحت اثر بارگسترده‌ی کلی بهشدهت ( $q$ ) در واحد طول خود همانند شکل ۱ الف قرار گرفته است. این تیر در قسمت میانی خود به کمک لایه‌ی چسبنده با ورق‌های FRP یا فولادی به طول  $L_p$  تقویت شده است.

انحنای جزء دیفرانسیلی با تأثیر تغییرشکل‌های برشی را می‌توان به کمک شکل ۳ تعیین کرد.

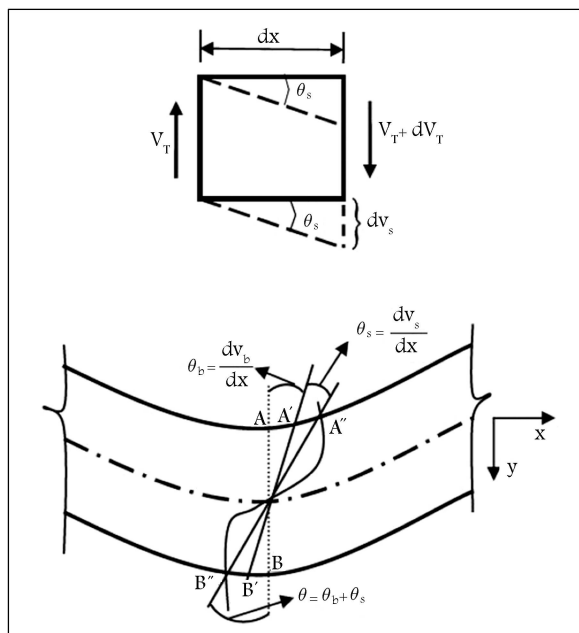
انحنای خمشی  $\frac{d\theta_b}{dx}$ ، انحنای ناشی از تغییرشکل‌های برشی  $\frac{d\theta_s}{dx}$  و انحنای کل  $\frac{d\theta}{dx}$  را می‌توان به صورت رابطه‌ی ۴ نوشت:

$$\begin{cases} \frac{d\theta_b}{dx} = \frac{d^{\tau} v_b(x, y)}{dx^{\tau}} = \frac{-M_T(x)}{(EI)_t} \\ \frac{d\theta_s}{dx} = \frac{d^{\tau} v_s(x, y)}{dx^{\tau}} = \frac{-}{(\alpha GA)_t} \frac{dV_T(x)}{dx} \\ \frac{d\theta}{dx} = \frac{d^{\tau} v(x, y)}{dx^{\tau}} = \frac{d\theta_b}{dx} + \frac{d\theta_s}{dx} \end{cases} \quad (4)$$

که در آن  $(x, y)$  و  $v(x, y)$  به ترتیب تغییرشکل‌های خمشی، برشی، و کل در مقطع عرضی و  $M_T(x)$  و  $V_T(x)$  به ترتیب نیروی برشی کل و لنگر خمشی کل در مقطع مرکب (شامل: تیر اصلی، چسب و ورق تقویت) هستند. همچنین  $(EI)_t$  و  $(\alpha GA)_t$  به ترتیب صلیبت برشی مؤثر و صلیبت خمشی مؤثر کل مقطع مرکب هستند و از رابطه‌ی ۵ به دست می‌آیند.<sup>[۲۲, ۲۳]</sup>

$$\begin{cases} (\alpha GA)_t = \alpha(G_1 A_1 + G_2 A_2) \\ (EI)_t = E_1 I_1 + E_2 I_2 \\ I_1 = \frac{I_{1b}}{1+r_{1e}} \\ I_2 = \frac{I_{2b}}{1+r_{2e}} \end{cases} \quad (5)$$

که در آن‌ها  $E_j$ ،  $I_j$  و  $A_j$  به ترتیب ضریب کشسانی، لنگر لختی مؤثر کاهش پافته نسبت به مرکز سطح، ضریب کشسانی برشی، و سطح مقطع عرضی در جزء  $j$ ‌اند. همچنین  $\alpha$  ضریب شکل برشی مقطع عرضی است که در مقاطع مستطیلی برابر  $\frac{1}{4}$  اختیار می‌شود.<sup>[۲۳]</sup> سرانجام  $I_{1b}$  و  $I_{2b}$  به ترتیب لنگرهای لختی حقیقی در تیر پنتی و ورق تقویت هستند.<sup>[۲۲]</sup> کمیت‌های  $r_{1e}$  و  $r_{2e}$  در رابطه‌ی ۵ از رابطه‌ی ۶



شکل ۳. انحنای خمشی و برشی در تیر مرکب تیموشنکو.

### ۳. معادلات حاکم بر تنش برشی در میان رویه‌ی تیر اصلی و ورق تقویت

یک جزء دیفرانسیلی به طول  $dx$  از تیر بتن مسلح تقویت شده با ورق، که تحت اثر بار گسترده‌ی کلی  $(q)$  قرار دارد، همانند شکل ۲ به سه بخش مجزا (جزء بتن مسلح، لایه‌ی چسبنده، و ورق تقویت) تقسیم شده است. در این شکل نیروهای محوری و برشی و لنگرهای خمشی مشبّت، در هر یک از جزء‌ها به ترتیب با علائم  $N_j(x)$  و  $M_j(x)$ ، و تنش‌های برشی و قائم میان رویه به ترتیب با  $(x)$  و  $\sigma(x)$  و  $V_j(x)$  بیان شده‌اند. پانویس‌های  $1 = j = 2$  به ترتیب تیر پنتی و ورق تقویت را معرفی می‌کنند. کرنش برشی  $\gamma$  در لایه‌ی چسبنده را می‌توان با رابطه‌ی ۱ ارائه کرد:<sup>[۱]</sup>

$$\gamma = \frac{du(x, y)}{dy} + \frac{dv(x, y)}{dx} \quad (1)$$

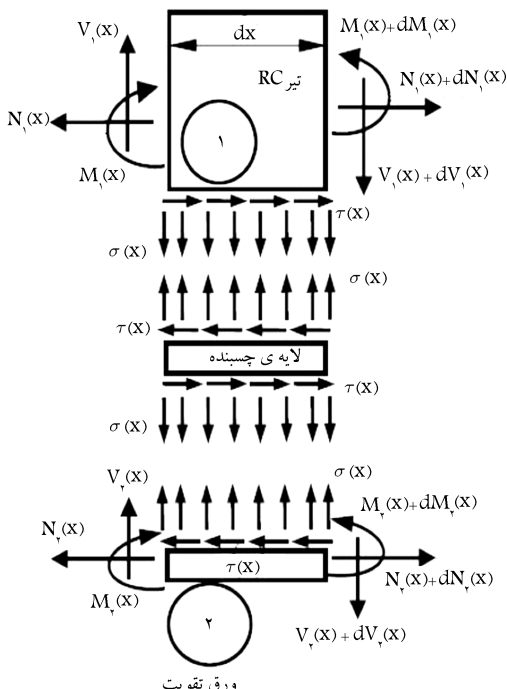
که در آن  $u(x, y)$  و  $v(x, y)$  به ترتیب تغییرمکان‌های افقی و قائم در هر نقطه از لایه‌ی چسبنده‌اند. مبدأ سنجش کمیت‌های  $u(x, y)$  و  $v(x, y)$  در ابتدای ورق تقویت به صورت شکل ۱ الف فرض شده‌اند.

تنش برشی  $\tau(x)$  متناظر با کرنش برشی  $\gamma$  است و از رابطه‌ی ۲ به دست می‌آید:<sup>[۱]</sup>

$$\tau(x) = G_a \gamma = G_a \left( \frac{du(x, y)}{dy} + \frac{dv(x, y)}{dx} \right) \quad (2)$$

که در آن  $G_a$  ضریب کشسانی برشی لایه‌ی چسبنده است. مشتق مرتبه‌ی اول رابطه‌ی ۲ نسبت به  $x$  از رابطه‌ی ۳ به دست می‌آید:

$$\frac{d\tau(x)}{dx} = G_a \left( \frac{d^{\tau} u(x, y)}{dxdy} + \frac{d^{\tau} v(x, y)}{dx^{\tau}} \right) \quad (3)$$



شکل ۲. اجزاء مقطع عرضی تیر مرکب.

ورق تقویت از بالای آن هستند. روابط ۱۳ و ۱۴ بین  $y_1$  و  $y_2$  با ضخامت‌های  $d_1$  و  $d_2$  برقرار است:

$$y_1 = \frac{d_1}{2} \quad (13)$$

$$y_2 = \frac{d_2}{2} \quad (14)$$

از تعادل افقی جزء مرکب می‌توان رابطه‌ی ۱۵ نوشت:

$$\frac{dN_1(x)}{dx} = \frac{dN_2(x)}{dx} = b_1 \tau(x) \quad (15)$$

که در آن رابطه‌ی ۱۶ برقرار است:

$$N_1(x) = N_2(x) = N(x) = b_1 \int_0^x \tau(x) dx \quad (16)$$

با فرض انحنای‌های برابر در تیر RC و ورق تقویت، رابطه‌ی بین  $M_1(x)$  و  $M_2(x)$  به صورت رابطه‌ی ۱۷ نوشت می‌شود: [۱]

$$\frac{M_1(x)}{E_1 I_1} = \frac{M_2(x)}{E_2 I_2} \Rightarrow \begin{cases} M_1(x) = R M_2(x) \\ R = \frac{E_1 I_1}{E_2 I_2} \end{cases} \quad (17)$$

با محاسبه‌ی لنگر خمی کل در جزء دیفرانسیلی نسبت به مرکز ورق تقویت می‌توان رابطه‌ی ۱۸ را نوشت: [۱]

$$M_T(x) = M_1(x) + M_2(x) + N(x)(y_1 + y_2 + t_a) \quad (18)$$

که در آن لنگرهای خمی در تیر بتی و ورق تقویت به ترتیب از روابط ۱۹ و ۲۰ به دست می‌آیند: [۱]

$$M_1(x) = \frac{R}{R+1} \left[ M_T(x) - b_1 \int_0^x \tau(x)(y_1 + y_2 + t_a) dx \right] \quad (19)$$

$$M_2(x) = \frac{1}{R+1} \left[ M_T(x) - b_2 \int_0^x \tau(x)(y_1 + y_2 + t_a) dx \right] \quad (20)$$

با تعیین مشتق اول رابطه‌های ۱۹ و ۲۰ می‌توان روابط ۲۱ و ۲۲ را نوشت:

$$\frac{dM_1(x)}{dx} = V_1(x) = \frac{R}{R+1} [V_T(x) - b_1 \tau(x)(y_1 + y_2 + t_a)] \quad (21)$$

$$\frac{dM_2(x)}{dx} = V_2(x) = \frac{1}{R+1} [V_T(x) - b_2 \tau(x)(y_1 + y_2 + t_a)] \quad (22)$$

با جایگذاری روابط ۱۱ و ۱۲ در رابطه‌ی ۱۰، رابطه‌ی ۲۳ حاصل می‌شود:

$$\begin{aligned} \frac{d\tau(x)}{dx} &= \frac{G_a}{t_a} \left[ -\frac{y_1}{E_1 I_1} M_1(x) + \frac{1}{E_1 A_1} N_1(x) + \frac{y_2}{\alpha G_2 A_2} b_2 \sigma(x) \right. \\ &\quad \left. - \frac{y_1}{E_1 I_1} M_2(x) + \frac{1}{E_1 A_1} N_2(x) - \frac{y_1}{\alpha G_1 A_1} [q + b_1 \sigma(x)] \right. \\ &\quad \left. - \frac{t_a}{(EI)_t} M_T(x) - \frac{t_a}{(\alpha GA)_t} \frac{dV_T(x)}{dx} \right] \quad (23) \end{aligned}$$

$$\begin{cases} \beta_1 = \frac{L_{fs}+x}{L} \\ \gamma_1 = \frac{\gamma_1 E_1 I_1 b}{\delta \alpha G_1 A_1 L^\gamma} \\ r_{1e} = \frac{\gamma_1}{\delta} (\beta_1^* - 2\beta_1^r + \beta_1) + \gamma_1 (\beta_1 - \beta_1^r) - 1 \\ \left( r_{1e} = \frac{\gamma_1 E_1 I_1 b}{\delta \alpha G_1 A_1 L^\gamma} \text{ at } x = \frac{L_p}{\tau} \right) \\ \beta_2 = \frac{L_{fs}+x}{L_p} \\ \gamma_2 = \frac{\gamma_2 E_2 I_2 b}{\delta \alpha G_2 A_2 L_p^\gamma} \\ r_{2e} = \frac{\gamma_2}{\delta} (\beta_2^* - 2\beta_2^r + \beta_2) + \gamma_2 (\beta_2 - \beta_2^r) - 1 \\ \left( r_{2e} = \frac{\gamma_2 E_2 I_2 b}{\delta \alpha G_2 A_2 L_p^\gamma} \text{ at } x = \frac{L_p}{\tau} \right) \end{cases} \quad (6)$$

پنابراین، انتخاب کل جزء دیفرانسیلی در تیر بتی تقویت شده‌ی تیموشنکو از رابطه‌ی ۷ به دست می‌آید:

$$\frac{d^r v(x, y)}{dx^r} = \frac{d\theta_b}{dx} + \frac{d\theta_s}{dx} = -\frac{M_T(x)}{(EI)_t} - \frac{1}{(\alpha GA)_t} \frac{dV_T(x)}{dx} \quad (7)$$

با فرض آنکه لایه‌ی چسبنده در معرض شش‌های برشی یکنواخت قرار گرفته باشد، تغییرات  $u(x, y)$  در ضخامت لایه‌ی چسبنده به صورت خطی است و می‌توان آن را به صورت رابطه‌ی ۸ نوشت: [۱]

$$\frac{du(x, y)}{dy} = \frac{1}{t_a} [u_2(x) - u_1(x)] \quad (8)$$

با مشتق‌گیری از رابطه‌ی ۸ نسبت به  $x$ ، رابطه‌ی ۹ به دست می‌آید:

$$\frac{d^r u(x, y)}{dxdy} = \frac{1}{t_a} \left[ \frac{du_2(x)}{dx} - \frac{du_1(x)}{dx} \right] \quad (9)$$

که در آن  $u_1(x)$  و  $u_2(x)$  به ترتیب تغییرمکان‌های طولی در پایین تیر بتی و بالای ورق تقویت است و  $t_a$  بیان‌گر ضخامت لایه‌ی چسبنده است. با جایگذاری رابطه‌های ۷ و ۹ در رابطه‌ی ۳ می‌توان رابطه‌ی ۱۰ را نوشت:

$$\frac{d\tau(x)}{dx} = \frac{G_a}{t_a} \left[ \frac{du_2(x)}{dx} - \frac{du_1(x)}{dx} - \frac{t_a}{(EI)_t} M_T(x) - \frac{t_a}{(\alpha GA)_t} \frac{dV_T(x)}{dx} \right] \quad (10)$$

کرنش‌ها در پایین تیر بتی و بالای ورق تقویت با اعمال اثرات تغییرشکل‌های محوری، برشی، و خمی به صورت روابط ۱۱ و ۱۲ تعیین می‌شوند: [۱]

$$\begin{aligned} \frac{du_1(x)}{dx} &= \varepsilon_1(x) = \frac{y_1}{E_1 I_1} M_1(x) - \frac{1}{E_1 A_1} N_1(x) + \\ &\quad \frac{y_1}{\alpha G_1 A_1} [q(x) + b_1 \sigma(x)] \end{aligned} \quad (11)$$

$$\begin{aligned} \frac{du_2(x)}{dx} &= \varepsilon_2(x) = -\frac{y_2}{E_2 I_2} M_2(x) + \frac{1}{E_2 A_2} N_2(x) + \\ &\quad \frac{y_2}{\alpha G_2 A_2} b_2 \sigma(x) \end{aligned} \quad (12)$$

که در آنها  $\varepsilon_1(x)$  و  $\varepsilon_2(x)$  به ترتیب کرنش‌های محوری در سطح پایین تیر بتی و بالای ورق تقویت هستند.  $M_j(X)$  و  $N_j(x)$  به ترتیب نیروی محوری و لنگر خمی در جزء زام هستند که در فاصله‌ی  $y_j$  وارد می‌شوند ( $j = 1, 2$ ).  $y_1$  و  $y_2$  به ترتیب بیان‌گر فاصله‌ی مرکز سطح تیر بتی از پایین آن و فاصله‌ی مرکز سطح

۳۴، می‌توان معادلات ۳۵ و ۳۶ را ارائه کرد:  
در تیر اصلی:

$$\frac{d^r v_1(x)}{dx^r} = \frac{1}{E_1 I_1} b_1 \sigma(x) + \frac{1}{E_1 I_1} q(x) + \frac{b_1 y_1}{E_1 I_1} \frac{d\tau(x)}{dx} - \frac{1}{\alpha G_1 A_1} \frac{d^r q(x)}{dx^r} - \frac{b_1}{\alpha G_1 A_1} \frac{d^r \sigma(x)}{dx^r} \quad (35)$$

در ورق تقویت:

$$\frac{d^r v_1(x)}{dx^r} = -\frac{1}{E_1 I_1} b_1 \sigma(x) + \frac{b_1 y_1}{E_1 I_1} \frac{d\tau(x)}{dx} + \frac{b_1}{\alpha G_1 A_1} \frac{d^r \sigma(x)}{dx^r} \quad (36)$$

با تعیین مشتق مرتبه‌ی چهارم رابطه‌ی ۲۸ و جایگزینی روابط ۲۵ و ۳۶ در آن و سادهسازی‌های لازم می‌توان رابطه‌ی ۳۷ را نوشت:

$$\frac{d^r \sigma(x)}{dx^r} - c_0 \frac{d^r \sigma(x)}{dx^r} + d_0 \sigma(x) + e_0 \frac{d\tau(x)}{dx} = g(x) \quad (37)$$

که در آن ثابت‌های  $c_0$ ،  $d_0$  و  $e_0$  و تابع  $g(x)$  از روابط ۳۸ الی ۴۱ به دست می‌آیند:

$$c_0 = \frac{E_a b_1}{t_a \alpha} \left( \frac{1}{G_1 A_1} + \frac{1}{G_1 A_1} \right) \quad (38)$$

$$d_0 = \frac{E_a b_1}{t_a} \left( \frac{1}{E_1 I_1} + \frac{1}{E_1 I_1} \right) \quad (39)$$

$$e_0 = \frac{E_a b_1}{t_a} \left( \frac{y_1}{E_1 I_1} - \frac{y_1}{E_1 I_1} \right) \quad (40)$$

$$g(x) = \frac{E_a}{t_a} \left[ \frac{1}{\alpha G_1 A_1} \frac{d^r q(x)}{dx^r} - \frac{1}{E_1 I_1} q(x) \right] \quad (41)$$

رابطه‌ی ۳۷ معادله‌ی دیفرانسیل حاکم بر تنش قائم را در میان رویه‌ی تیر اصلی و ورق تقویت ارائه می‌کند.

## ۵. پاسخ‌های عمومی دستگاه معادلات دیفرانسیل درگیر حاکم بر تنش‌های میان رویه

با بهکارگیری هم‌زمان معادلات دیفرانسیل حاکم بر تنش‌های برشی و قائم در میان رویه (رابطه‌های ۲۴ و ۳۷) می‌توان به دستگاه معادلات دیفرانسیل درگیر حاکم دسترسی پیدا کرد (رابطه‌ی ۴۲):

$$\begin{cases} \frac{d^r \tau(x)}{dx^r} - a_0 \tau(x) + b_0 \frac{d\sigma(x)}{dx} = f(x) \\ \frac{d^r \sigma(x)}{dx^r} - c_0 \frac{d^r \sigma(x)}{dx^r} + d_0 \sigma(x) + e_0 \frac{d\tau(x)}{dx} = g(x) \end{cases} \quad (42)$$

که در آن پارامترهای ثابت  $a_0$ ،  $b_0$ ،  $c_0$ ،  $d_0$  و  $e_0$ ، و توابع  $f(x)$  و  $g(x)$  پیش از این تعریف شده‌اند. دستگاه معادلات دیفرانسیل درگیر (رابطه‌ی ۴۲) از نوع معادلات دیفرانسیل ععمولی غیرهمگن است. با تعریف نمادهای مطابق در روابط ۴۳ و ۴۴ می‌توان رابطه‌ی ۴۲ را به شکل ساده‌تری نوشت:

$$\begin{aligned} D &= \frac{d}{dx}, & D^r &= \frac{d^r}{dx^r}, & D^t &= \frac{d^t}{dx^t}, \\ \tau &= \tau(x), & \sigma &= \sigma(x) \end{aligned} \quad (43)$$

با یکبار مشتق‌گیری از رابطه‌ی ۲۳ و جایگزینی روابط ۱۵ الی ۲۲ در رابطه‌ی حاصل و پس از ساده‌کردن، رابطه‌ی ۲۴ را خواهیم داشت:

$$\frac{d^r \tau(x)}{dx^r} - a_0 \tau(x) + b_0 \frac{d\sigma(x)}{dx} = f(x) \quad (44)$$

که در آن، دو ثابت  $a_0$  و  $b_0$  و تابع  $f(x)$  از روابط ۲۵ الی ۲۷ به دست می‌آیند:

$$a_0 = \frac{G_a b_1}{t_a} \left( \frac{(y_1 + y_2)(y_1 + y_2 + t_a)}{E_1 I_1 + E_2 I_2} + \frac{1}{E_1 A_1} + \frac{1}{E_2 A_2} \right) \quad (45)$$

$$b_0 = \frac{G_a b_1}{\alpha t_a} \left( \frac{y_1}{G_1 A_1} - \frac{y_2}{G_2 A_2} \right) \quad (46)$$

$$\begin{aligned} f(x) &= -\frac{G_a}{t_a} \left( \frac{y_1 + y_2}{E_1 I_1 + E_2 I_2} + \frac{t_a}{(EI)_t} \right) V_T(x) - \\ &\quad \frac{G_a}{t_a} \frac{y_1}{\alpha G_1 A_1} \frac{dq}{dx} - \frac{G_a}{(\alpha G A)_t} \frac{d^r V_T(x)}{dx^r} \end{aligned} \quad (47)$$

دو عبارت ظاهرشده با پانویس  $t$  در رابطه‌ی ۲۷ تا به حال در مقالات دیگر پژوهشگران وارد نشده است. رابطه‌ی ۲۴، معادله‌ی دیفرانسیل حاکم بر تنش برشی در میان رویه‌ی تیر بتنی و ورق تقویت است.

## ۴. معادلات حاکم بر تنش قائم در میان رویه‌ی تیر اصلی و ورق تقویت

با توجه به جداسدگی در جهت قائم که بین تیر اصلی و ورق تقویت زیر اثر بار وارد به وجود می‌آید، می‌توان به معادلات دیفرانسیل حاکم بر تنش قائم در میان رویه دست یافت. این جدایی سبب به وجود آمدن تنش قائم میان رویه در لایه‌ی چسبنده می‌شود. تنش قائم  $(x)$  در لایه‌ی چسبنده به صورت رابطه‌ی ۲۸ ارائه می‌شود:

$$\sigma(x) = \frac{E_a}{t_a} [v_1(x) - v_0(x)] \quad (48)$$

که در آن  $E_a$  ضربی کشسانی چسب و  $v_0(x)$  و  $v_1(x)$  به ترتیب تغییرمکان قائم به وجود آمده در پایین تیر بتنی و بالای ورق تقویت هستند. با نوشتن معادلات تعادل در تیر اصلی و ورق تقویت، و چشم‌بوشی از جملات مرتبه‌ی ۲ و بالاتر می‌توان به روابط ۲۹ الی ۳۴ دست پیدا کرد:  
<sup>[۱]</sup>

$$\frac{d^r v_1(x)}{dx^r} = -\frac{1}{E_1 I_1} M_1(x) - \frac{1}{\alpha G_1 A_1} [q(x) + b_1 \sigma(x)] \quad (49)$$

$$\frac{dM_1(x)}{dx} = V_1(x) - b_1 y_1 \tau(x) \quad (50)$$

$$\frac{dV_1(x)}{dx} = -b_1 \sigma(x) - q(x) \quad (51)$$

در ورق تقویت:

$$\frac{d^r v_0(x)}{dx^r} = -\frac{1}{E_2 I_2} M_2(x) + \frac{1}{\alpha G_2 A_2} b_2 \sigma(x) \quad (52)$$

$$\frac{dM_2(x)}{dx} = V_2(x) - b_2 y_2 \tau(x) \quad (53)$$

$$\frac{dV_2(x)}{dx} = b_2 \sigma(x) \quad (54)$$

با دو بار مشتق‌گیری پی در پی از روابط ۲۹ و ۳۲، و جایگذاری مشتق‌های وابسته به نیروی برشی و لنگر خمشی بر حسب تنش‌های برشی و قائم از روابط ۳۰ الی

معادله‌ی مشخصه‌ی رابطه‌ی ۵۲، دقیقاً همان رابطه‌ی ۴۶ است، بنابراین رابطه‌ی تنش برشی  $\tau(x)$  را می‌توان از رابطه‌ی ۵۳ به دست آورد:

$$\begin{aligned} \tau(x) &= K_1 e^{-\sqrt{m_1}x} + K_1 e^{\sqrt{m_1}x} + K_2 e^{-\sqrt{m_2}x} + K_2 e^{\sqrt{m_2}x} + \\ &\quad K_3 e^{-\sqrt{m_3}x} + K_3 e^{\sqrt{m_3}x} - \frac{G(x)}{a_0} \end{aligned} \quad (53)$$

که در آن تابع  $G(x)$  به شرایط بارگذاری مستقله وابسته است و از رابطه‌ی ۵۴ به دست می‌آید:

$$G(x) = (D^\dagger - c_0 D^\dagger + d_0) f(x) - b_0 Dg(x) \quad (54)$$

با جایگذاری دو رابطه‌ی ۵۰ و ۵۳ در هر یک از معادلات دیفرانسیل درگیر (رابطه‌ی ۴۴)، دستگاهی شش معادله و شش مجهول به دست می‌آید. از حل دستگاههای معادلات مزبور می‌توان به رابطه‌ی ۵۵ دست یافت:

$$\begin{cases} K_{1j-1} = \frac{b_0 C_{1j-1} \sqrt{m_j}}{m_j - a_0} \\ K_{1j} = -\frac{b_0 C_{1j} \sqrt{m_j}}{m_j - a_0} \end{cases} \quad j = 1, 2, 3 \quad (55)$$

سرانجام رابطه‌ی  $\tau(x)$  بر حسب ثابت‌های  $C_1$  الی  $C_6$  به صورت رابطه‌ی ۵۶ نوشته می‌شود:

$$\begin{aligned} \tau(x) &= \frac{b_0 C_1 \sqrt{m_1}}{m_1 - a_0} e^{-\sqrt{m_1}x} - \frac{b_0 C_1 \sqrt{m_1}}{m_1 - a_0} e^{\sqrt{m_1}x} + \\ &\quad \frac{b_0 C_2 \sqrt{m_2}}{m_2 - a_0} e^{-\sqrt{m_2}x} - \frac{b_0 C_2 \sqrt{m_2}}{m_2 - a_0} e^{\sqrt{m_2}x} + \\ &\quad \frac{b_0 C_3 \sqrt{m_3}}{m_3 - a_0} e^{-\sqrt{m_3}x} - \frac{b_0 C_3 \sqrt{m_3}}{m_3 - a_0} e^{\sqrt{m_3}x} - \frac{G(x)}{a_0} \end{aligned} \quad (56)$$

رابطه ۵۰ و ۵۶ پاسخ‌های معادله دیفرانسیل درگیر ۴۴ هستند.

$$\begin{cases} D^\dagger \tau - a_0 \tau + b_0 D\sigma = f(x) \\ D^\dagger \sigma - c_0 D^\dagger \sigma + d_0 \sigma + e_0 D\tau = g(x) \end{cases} \quad (44)$$

با حذف عامل  $\tau$  از دستگاه معادلات دیفرانسیل درگیر در رابطه‌ی ۴۴، می‌توان به رابطه‌ی ۴۵ دست یافت:

$$\begin{aligned} (D^\dagger - (a_0 + c_0) D^\dagger + (a_0 c_0 + d_0 - b_0 e_0) D^\dagger - a_0 d_0) \sigma \\ = \underbrace{(D^\dagger - a_0) g(x) - e_0 Df(x)}_{F(x)} \end{aligned} \quad (45)$$

معادله‌ی مشخصه‌ی رابطه‌ی ۴۵ به صورت رابطه‌ی ۴۶ است:

$$\lambda^\dagger - (a_0 + c_0) \lambda^\dagger + (a_0 c_0 + d_0 - b_0 e_0) \lambda^\dagger - a_0 d_0 = 0 \quad (46)$$

با تعریف  $\lambda^\dagger = m$  می‌توان معادله‌ی ۴۷ را نوشت:

$$m^\dagger - (a_0 + c_0) m^\dagger + (a_0 c_0 + d_0 - b_0 e_0) m - a_0 d_0 = 0 \quad (47)$$

از حل معادله‌ی مشخصه‌ی ۴۷ می‌توان به مقادیر ویژه‌ی آن طبق رابطه‌ی ۴۸ دست یافت:

$$\begin{cases} m_1 = \left[ \frac{a_0 + c_0}{r} - \frac{\sqrt{r} n_r}{r n_1} + \frac{n_r}{r \sqrt{r}} \right] \\ m_r = \left[ \frac{a_0 + c_0}{r} + \frac{(1+i\sqrt{r})n_r}{r \sqrt{r} n_r} - \frac{(1-i\sqrt{r})n_r}{r \sqrt{r}} \right] \\ m_{\bar{r}} = \left[ \frac{a_0 + c_0}{r} + \frac{(1-i\sqrt{r})n_r}{r \sqrt{r} n_r} - \frac{(1+i\sqrt{r})n_r}{r \sqrt{r}} \right] \end{cases} \quad (48)$$

که در آن  $i = \sqrt{-1}$  و  $n_1, n_r$  و  $n_{\bar{r}}$  از رابطه‌ی ۴۹ به دست می‌آیند:

$$\begin{cases} n_1 = 2a_0^\dagger - 3a_0 c_0^\dagger - 3a_0 c_0 + 2c_0^\dagger + 18a_0 d_0 - 9c_0 d_0 + \\ 9a_0 b_0 e_0 + 9b_0 c_0 e_0 \\ n_r = -a_0^\dagger + a_0 c_0 - c_0^\dagger + 3d_0 - 3b_0 e_0 \\ n_{\bar{r}} = \sqrt[n_r]{n_1 + \sqrt{n_1^2 + 4n_r^2}} \end{cases} \quad (49)$$

بنابراین، رابطه‌ی تنش قائم  $(\sigma(x))$  از رابطه‌ی ۵۰ به دست می‌آید:

$$\begin{aligned} \sigma(x) &= C_1 e^{-\sqrt{m_1}x} + C_1 e^{\sqrt{m_1}x} + C_2 e^{-\sqrt{m_2}x} + C_2 e^{\sqrt{m_2}x} \\ &\quad + C_3 e^{-\sqrt{m_3}x} + C_3 e^{\sqrt{m_3}x} - \frac{F(x)}{a_0 d_0} \end{aligned} \quad (50)$$

که در آن  $F(x)$  به نحوه‌ی بارگذاری تیربستگی دارد و از رابطه‌ی ۵۱ تعیین می‌شود:

$$F(x) = (D^\dagger - a_0) g(x) - e_0 Df(x) \quad (51)$$

با روش مشابه روش بالا، و این باز با حذف  $\sigma$  از دستگاه معادلات دیفرانسیل درگیر (رابطه‌ی ۴۴) می‌توان رابطه‌ی ۵۲ را ارائه کرد:

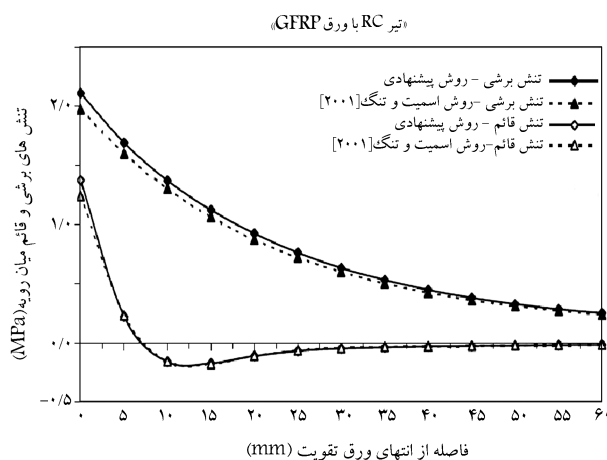
$$\begin{aligned} (D^\dagger - (a_0 + c_0) D^\dagger + (a_0 c_0 + d_0 - b_0 e_0) D^\dagger - a_0 d_0) \tau \\ = \underbrace{(D^\dagger - c_0 D^\dagger + d_0) f(x) - b_0 Dg(x)}_{G(x)} \end{aligned} \quad (52)$$

است. دیگر ویژگی‌های هندسی و مکانیکی مصالح تیرها، ورق‌های تقویتی GFRP و CFRP و فولادی، و لایه‌ی چسبینده در دو مثال ارائه شده در جدول ۱، درج شده است. پیش از این، دو مثال مزبور با روش‌های تحلیلی متفاوت حل شده‌اند.<sup>[۱۶-۲۱]</sup>

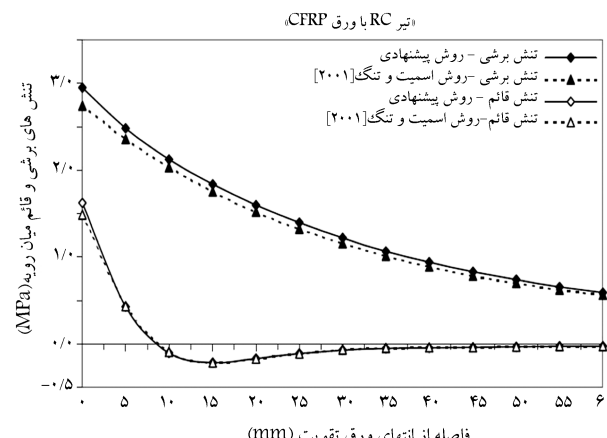
سه شرط مرزی به دست آمده در رابطه‌ی ۵۷ کلی است و در نقطه‌ی شروع ورق تقویت مستقل از نوع بارگذاری وارد بر تیر است.

### ۱.۷. مثال ۱

تیر بتن مسلح تقویت شده با ورق‌های GFRP، CFRP، و فولادی تحت اثر بار گستردگی یکنواخت (UDL) قرار دارد. در شکل‌های ۴ الی ۶ تنش‌های برشی و قائم میان رویه در نزدیکی انتهای ورق (در طول  $25L_p$ ) به ترتیب برای ورق GFRP، ورق CFRP، ورق فولادی رسم شده است. نتایج به دست آمده از روش تحلیلی ارائه شده در این نوشتار با حل تحلیلی اسیمیت و تنگ<sup>[۱]</sup> هم‌گاری خوبی دارند. تفاوت عمدی پاسخ‌ها در بخش انتهای ورق هاست که ناشی از اثرات تغییرشکل‌های برشی است. این اثرات در روش تحلیلی ارائه شده وارد شده‌اند، اما در پاسخ‌های تحلیلی اسیمیت و تنگ<sup>[۱]</sup> اعمال نشده است. با دقت در نمودارها مشاهده می‌شود که در فاصله‌ی کوتاهی از انتهای ورق‌های تقویت، تنش قائم میان رویه تغییر علامت می‌دهد. این تغییر علامت در تنش قائم، ناشی از تغییرشکل‌های خمی اضافی به وجود آمده در ورق تقویت به‌سبب تنش‌های برشی در میان رویه است. تنش‌های برشی میان رویه بیش از تنش‌های قائم از تغییرشکل‌های برشی تأثیر می‌بینند. بنابراین، اثر تغییرشکل‌های برشی نقش مهمی در افزایش تنش‌های برشی



شکل ۴. توزیع تنش‌های برشی و قائم میان رویه در تیر RC با ورق GFRP.



شکل ۵. توزیع تنش‌های برشی و قائم میان رویه در تیر RC با ورق CFRP.

### ۲.۶. تعیین شرایط مرزی خاص

هر چند روابط به دست آمده در این نوشتار، برای تعیین تنش‌های برشی، و قائم در میان رویه‌ی تیر اصلی با ورق تقویت کلی است و برای هر نوع بارگذاری کاربردی است، اما در ادامه به بررسی حالت بارگذاری یکنواخت (UDL)<sup>۳</sup> پرداخته می‌شود. تعیین پاسخ‌های تحلیلی دو حالت دیگر بارگذاری (بارهای متمرکز منفرد و دوگانه) تحت بررسی است. به هر حال، شرایط مرزی مربوط به تنش‌های برشی و قائم میان رویه در هر حالت بارگذاری را می‌توان با مشخص بودن نیروهای برشی و یا لنگرهای خمشی در وسط دهانه و یا در محل اثر بارهای متمرکز به دست آورد. در حالت بارگذاری یکنواخت لازم است که تنش برشی در وسط دهانه‌ی تیر (یا وسط ورق تقویت) برابر صفر شود (رابطه‌ی ۵۹):

$$\tau(x)|_{x=\frac{L_p}{4}} = 0 \quad (59)$$

۳.۶. تعیین ثابت‌های  $C_1$  الی  $C_6$  در حالت بارگذاری یکنواخت برای مقادیر بزرگ  $x$  فرض بر آن است که تنش قائم به صفر می‌رسد، بنابراین می‌توان نتیجه گرفت که ثابت‌های  $C_4 = C_6 = 0$  هستند. از این‌رو با تشکیل دستگاه چهار معادله و چهار مجهول به کمک روابط ۵۷ و ۵۹، ثابت‌های  $C_1, C_2, C_3$  و  $C_5$  به دست می‌آیند. ثابت  $C_2$  برابر صفر است. همچنین ثابت‌های  $C_1, C_2, C_3$  و  $C_5$  به دست می‌آیند. ثابت  $C_4$  از پارامترهای ثابت  $E_1, E_2, E_a, G_1, G_2, G_a, b_1, b_2, d_1, d_2, t_a, q, L$  و  $L_p$  و  $H_j$  هستند که با اختیار کردنتابع فرضی  $J$ ، می‌توان آن‌ها را به صورت رابطه‌ی ۶ نوشت:

$$C_j = H_j(E_1, E_2, E_a, G_1, G_2, G_a, b_1, b_2, d_1, d_2, t_a, q, L, L_p); \quad j = 1, 3, 5 \quad (60)$$

روابط تحلیلی مربوط به ثابت‌های  $C_1, C_2$  و  $C_5$  در پیوست آمده است. هر چند ثابت‌های مزبور با عبارت‌های نسبتاً طولانی ارائه شده‌اند، اما با توجه به دسترسی همگان به رایانه، یافتن ضرایب ثابت و به دنبال آن تعیین دقیق تنش‌های برشی و قائم در سرتاسر میان رویه‌ی تیر اصلی و ورق تقویت امری ممکن و معقول است.

### ۷. مثال‌های عددی

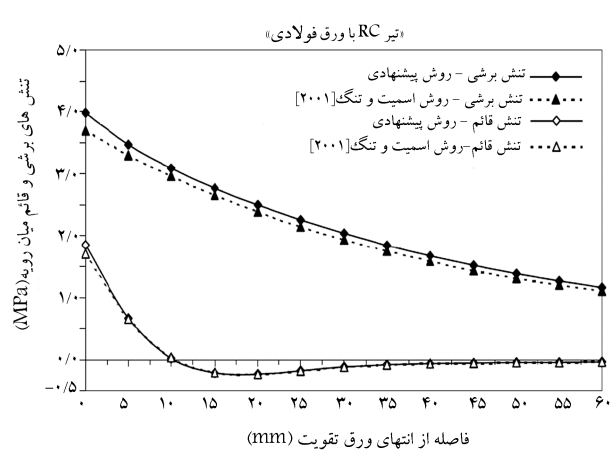
در این بخش به حل دو مثال پرداخته می‌شود. مثال نخست، تیر بتن مسلح دو سر ساده تقویت شده با ورق‌های GFRP<sup>۴</sup> و فولادی است که تحت اثر بارگذاری یکنواخت به شدت ثابت  $q(x) = q = 50 \frac{N}{mm}$  در سرتاسر طول خود قرار دارد. طول دهانه‌ی تیر  $L = 3000 \text{ mm}$ ، RC، و فاصله‌ی هر یک از تکیه‌گاه‌های آن از دو انتهای ورق تقویت  $L_{fs} = 300 \text{ mm}$  است. دومین مثال تیر آلومینیمی (AL)<sup>۵</sup> تخلیقی با ضخامت جداره‌ی ۲ میلی‌متر و تقویت شده با ورق CFRP است. تیر آلومینیمی مزبور زیر اثر بارگذاری یکنواخت ثابت به شدت  $q(x) = q = 2 \frac{N}{mm}$  قرار گرفته است. طول دهانه‌ی آن،  $L = 500 \text{ mm}$  و فاصله‌ی ابتداء از تکیه‌گاه‌های مجاور  $L_{fs} = 50 \text{ mm}$  است.

جدول ۱. ویژگی‌های هندسی و مکانیکی مصالح در تیرها، ورق‌های تقویتی و لایه‌های چسبنده.

جزء سازنده	عرض (mm)	عمق (mm)	ضریب کشسانی (MPa)	نسبت پواسون
تیر RC	$b_1 = 200$	$d_1 = 300$	$E_1 = 30,000$	$\nu_1 = 0.20$
تیر AL تخلالی	$b_1 = 20$	$d_1 = 30$	$E_1 = 60,300$	$\nu_1 = 0.33$
لایه‌ی چسبنده (تیر RC)	$b_a = 200$	$t_a = 2$	$E_a = 2000$	$\nu_a = 0.35$
لایه‌ی چسبنده (تیر AL)	$b_a = 20$	$t_a = 2$	$E_a = 2000$	$\nu_a = 0.35$
(RC) چسبنده به تیر	$b_2 = 200$	$t_2 = 4$	$E_2 = 50,000$	$\nu_2 = 0.30$
(RC) چسبنده به تیر	$b_2 = 200$	$t_2 = 4$	$E_2 = 100,000$	$\nu_2 = 0.30$
(RC) چسبنده به تیر	$b_2 = 200$	$t_2 = 4$	$E_2 = 200,000$	$\nu_2 = 0.30$
(AL) چسبنده به تیر	$b_2 = 20$	$t_2 = 2$	$E_2 = 100,000$	$\nu_2 = 0.30$

دارند و در شناسایی و موقع پدیده‌ی جدادگی و بارشکست نظری آن باید درنظر گرفته شوند.

هر چند پاسخ‌های دو روش به هم نزدیک است، اما روش تحلیلی ارائه شده به‌سبب واردکردن اثرات تغییرشکل‌های برشی در بدنه‌ی روابط حاکم بر تنش‌های برشی و قائم دارای دقت زیادی است. در جدول ۲، مقادیر عددی تنش برشی بیشینه ( $\tau_{max}$ ) و تنش قائم بیشینه ( $\sigma_{max}$ ) با روش‌های متفاوت درج شده است. تنش‌های مزبور در انتهای ورق تقویت به وجود می‌آیند. افزون بر واردکردن اثر تغییرشکل‌های برشی به شکل ستئی در روابط ارائه شده، چنانچه اثرات کاهش لنگر لختی ناشی از تأثیر این تغییرشکل‌ها در روابط مربوط وارد شوند، تفاوت روش‌های پیشین با روش ارائه شده بیشتر نمایان می‌شود (سطر آخر جدول ۲). اثر تنش برشی و کاهش صلابت برشی در ورق‌های تقویتی با صلابت بیشتر (مانند ورق فولادی) تأثیر بیشتری برنتایج تنش‌های میان‌رویه و به‌ویژه بر تنش برشی خواهد داشت.



شکل ۶. توزیع تنش‌های برشی و قائم میان‌رویه در تیر RC با ورق فولادی.

جدول ۲. مقایسه‌ی تنش‌های برشی و قائم میان‌رویه در مثال‌های ۱ و ۲ (MPa).

تیر AL با ورق CFRP	تیر RC با ورق فولادی	تیر RC با ورق CFRP		تیر RC با ورق GFRP		تیر RC با ورق AL		روش تعوری
		$\sigma_{max}$	$\tau_{max}$	$\sigma_{max}$	$\tau_{max}$	$\sigma_{max}$	$\tau_{max}$	
۱,۱۵۳	۲,۰۷۹	۱,۹۰۲	۲,۷۴۵	۱,۶۶۸	۲,۷۷۶	۱,۴۲۵	۲,۰۰۱	روبرتو و حاجی‌کاظمی*
۱,۰۶۰	۱,۹۶۲	۱,۷۲۳	۳,۵۶۷	۱,۵۰۰	۲,۵۹۱	۱,۲۵۶	۱,۸۱۳	روبرتو و حاجی‌کاظمی**
۰,۹۱۰	۱,۵۵۲	۱,۶۸۳	۲,۳۰۲	۱,۵۶۷	۲,۶۰۴	۱,۳۸۶	۱,۹۴۵	روبرتو*
۰,۸۷۱	۱,۴۹۹	۱,۶۷۵	۳,۲۸۷	۱,۵۶۳	۲,۵۹۷	۱,۳۸۴	۱,۹۴۳	مالک و همکاران*
۰,۹۳۰	۱,۷۹۶	۱,۷۱۳	۳,۶۹۶	۱,۴۸۴	۲,۷۴۰	۱,۲۴۴	۱,۹۷۵	اسمیت و تنگ*
۰,۹۱۷	۱,۷۴۸	۱,۶۹۵	۳,۵۹۲	۱,۴۷۲	۲,۶۸۴	۱,۲۲۷	۱,۹۵۵	ینگ و وو*
۱,۰۸۲	۲,۱۰۳	۱,۸۵۳	۳,۹۸۲	۱,۶۲۱	۲,۹۴۶	۱,۳۷۶	۲,۱۱۲	روش حاضر+
۱,۰۹۷	۲,۱۳۱	۱,۸۹۸	۴,۰۷۸	۱,۶۶۲	۳,۰۲۱	۱,۴۱۳	۲,۱۶۸	روش حاضر++

\* تنش برشی: مرحله‌ی ۱ و تنش قائم: مرحله‌ی ۲. \*\* تنش برشی: مرحله‌ی ۱ و تنش قائم: مرحله‌ی ۲+۱.

+ بدون اثر کاهش لنگر لختی. ++ با اثر کاهش لنگر لختی.

جدول ۳. مقایسه‌ی تنش‌های برشی و قائم میان‌رویه در تیر آلومینیمی توالی با ورق CFRP.

۶۰	۵۰	۴۰	۳۰	۲۰	۱۰	۰,۰	(mm)	$\alpha$
-۰,۰۰۴۷۵	-۰,۰۰۶۷۴	-۰,۰۱۰۵۲	-۰,۰۱۷۲۰	-۰,۰۲۸۸۹	-۰,۱۳۰۱۳	۱,۰۸۲۰۷	(MPa)	$\sigma_{Present}$
-۰,۰۰۴۱۱	-۰,۰۰۵۸۱	-۰,۰۰۹۰۶	-۰,۰۱۴۸۵	-۰,۰۲۳۷۲	-۰,۱۲۱۷۹	۰,۹۴۹۵۳	(MPa)	$\sigma^{[1]}$
۰,۳۷۰۰۵	۰,۴۲۶۲۵	۰,۵۱۰۵۴	۰,۶۴۷۲۳	۰,۸۸۲۱۳	۱,۲۹۲۷۷	۲,۱۰۲۸۹	(MPa)	$\tau_{Present}$
۰,۳۲۶۷۸	۰,۳۷۵۲۹	۰,۴۴۷۹۰	۰,۵۶۵۸۰	۰,۷۶۸۸۳	۱,۱۳۱۸۴	۱,۷۹۵۵۶	(MPa)	$\tau^{[1]}$
۱۶	۱۶	۱۶	۱۶	۲۲	۷	۱۶	$\left  \frac{\sigma_{Present} - \sigma^{[1]}}{\sigma^{[1]}} \right  \times 100$	
۱۳	۱۴	۱۴	۱۴	۱۵	۱۴	۱۷	$\left  \frac{\tau_{Present} - \tau^{[1]}}{\tau^{[1]}} \right  \times 100$	

در جدول ۲ مربوط به روش ارائه شده است. این مقدار حدود ۱/۴۲ برابر کمترین مقدار به دست آمده از روش سایر محققان است.<sup>[۶]</sup> بیشترین و کمترین مقادیر تنش قائم نیز به ترتیب مربوط به حل روپرتو- حاجی کاظمی<sup>[۵]</sup> و حل مالک و همکاران<sup>[۶]</sup> است که نسبت این دو برابر ۱/۳۲ است. تفاوت نتایج به دست آمده در این مثال، از دو روش حل ارائه شده با اثر کاهش لنگر لختی (سطر آخر جدول) و حل ارائه شده در مقاوله‌ی روپرتو- حاجی کاظمی (مرحله‌های ۲+۱)،<sup>[۵]</sup> در هر دو نوع تنش‌های قائم و برشی به ترتیب حدود ۲/۵٪ و ۵٪ است.

آشکار است که در یک تیر دو سر ساده با اثر تغییرشکل‌های برشی (تیر ییموشنکو)، تغییرمکان‌ها نسبت به تیر معمولی (اولر- برنوی) افزایش می‌یابند. بنابراین تمایل به لغزش بیشتری در حد فاصل ورق تقویت و تیر اصلی موجود می‌آید. از آنجا که مقادیر لنگر لختی و سطح مقطع برشی در اثر تغییرشکل‌های برشی، کاهش می‌یابند، از این رو تنش‌ها در میان‌رویه افزایش خواهند یافت. نتایج روش اجزای محدود در این جدول آمده است. نتایج نشان می‌دهند که قدر مطلق بیشینه و کمینه تفاوت تنش‌های برشی در طول موردمطالعه به ترتیب حدود ۱۷٪ و ۱۳٪ است. از سوی دیگر این درصدها در تنش‌های قائم به ترتیب حدود ۲۲٪ و ۷٪ هستند. درصد های مزبور بیان‌گر آن هستند که تفاوت‌های چشمگیری بین دو روش به ویژه برای تنش‌های برشی بیشینه وجود دارد.

مقادیر بیشینه‌ی تنش‌های برشی و قائم در تیر آلومینیمی، در دو ستون آخر جدول ۲ برای حل‌های مختلف ارائه شده‌اند. بیشترین مقادیر تنش برشی به دست آمده در شکل ۷ نمودار تنش‌های برشی و قائم میان‌رویه در یک تیر دو سر ساده‌ی آلومینیمی توالی با ضخامت جدار ۲ میلی‌متر که با ورق CFRP تقویت شده است و تحت اثر بارگذاری یکنواخت قرار دارد، با استفاده از روش تحلیلی اسمیت و تنگ<sup>[۱]</sup> و روش تحلیلی ارائه شده رسم شده است. تفاوت بین حل اسمیت و تنگ<sup>[۱]</sup> با حل ارائه شده در این مثال بیش از مثال قبل است. زیرا افزون بر اثر تغییرشکل‌های برشی در روش ارائه شده، و چشم‌پوشی از آن در روش اسمیت و تنگ<sup>[۱]</sup> در این مثال نسبت دهانه به عمق تیر کاهش یافته است. به ویژه این تفاوت در تنش برشی بیش از تنش قائم است. نتایج تنش‌های برشی و قائم میان‌رویه با روش ارائه شده و روش اسمیت و تنگ<sup>[۱]</sup> در فواصل ۱۰ میلی‌متری تا طول ۶۰ میلی‌متر از ابتدای ورق CFRP، در جدول ۳ ارائه شده است. همچنین درصد تفاوت تنش‌های مزبور در این جدول آمده است. نتایج نشان می‌دهند که قدر مطلق بیشینه و کمینه تفاوت تنش‌های برشی در تنش‌های قائم به ترتیب حدود ۲۲٪ و ۷٪ هستند. درصد های مزبور بیان‌گر آن هستند که تفاوت‌های چشمگیری بین دو روش به ویژه برای تنش‌های برشی بیشینه وجود دارد.

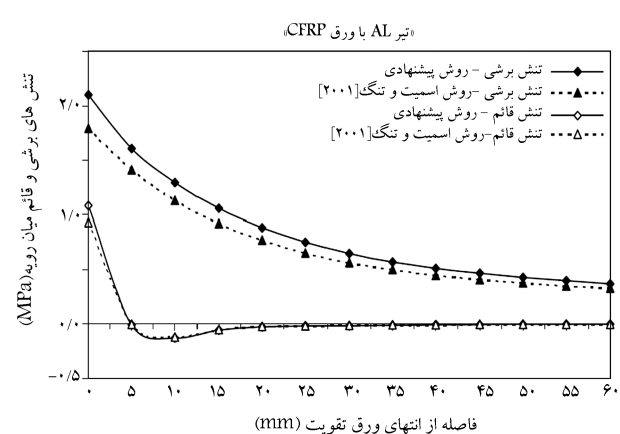
جدول ۲ برای حل‌های مختلف ارائه شده‌اند. بیشترین مقادیر تنش برشی به دست آمده

## ۸. مطالعه‌ی پارامتری

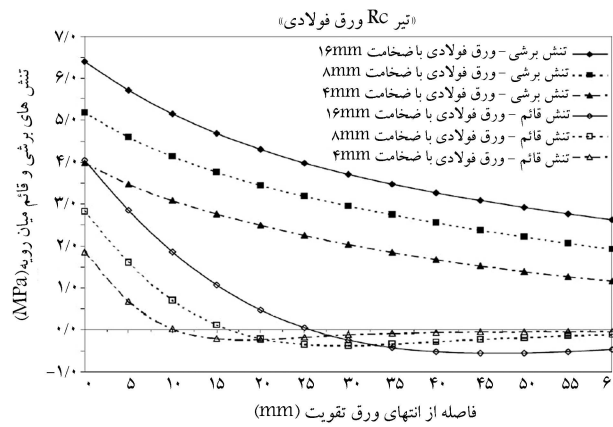
در یک رفتار تیرهای ترمیم شده با ورق‌های تقویتی کمک شایانی به مهندسین طراح در بهینه‌سازی پارامترهای طراحی می‌کند. در این بخش به عمدۀ‌ترین پارامترهای مؤثر بر پاسخ تنش‌های برشی و قائم در میان‌رویه پرداخته شده است.

### ۸.۱. سختی ورق تقویت

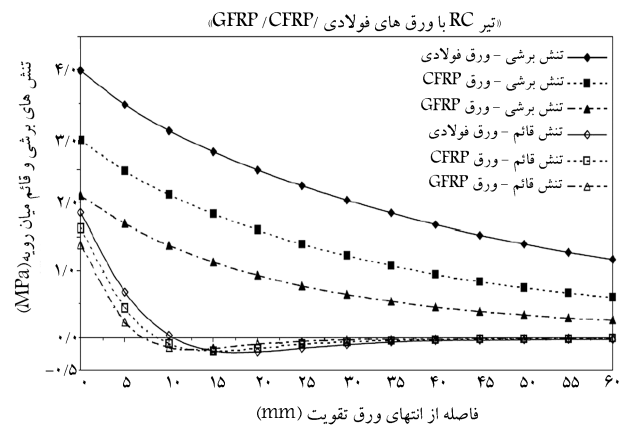
در شکل ۸، اثر سختی‌های گوناگون ورق بر روی تنش‌های برشی و قائم میان‌رویه، در تیرهای RC تقویت شده با ورق‌های CFRP، GFRP و فولادی نشان داده شده است. نتایج بیان‌گر آن است که با کاهش سختی از ورق‌های فولادی به CFRP و سپس GFRP، همان‌گونه که انتظار می‌رود، تنش‌های میان‌رویه متناسب با میزان سختی، کاهش می‌یابند. این بدان سبب است که با کاهش سختی، نیروی کششی انتقالی به ورق تقویت کاهش می‌یابد. بنابراین، سختی ورق‌های تقویت در توزیع تنش‌های برشی و قائم میان‌رویه، به ویژه در انتهای آن نقش کلیدی دارد.



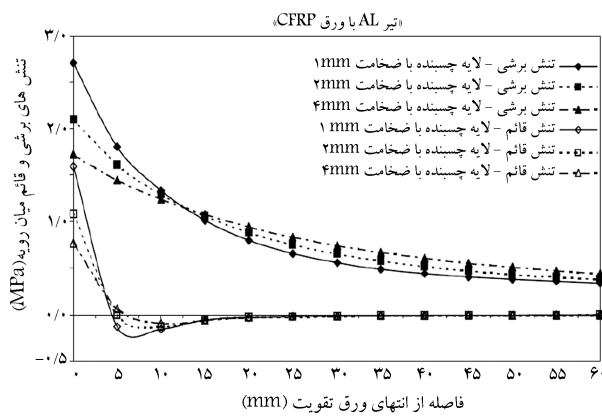
شکل ۷. توزیع تنش‌های برشی و قائم میان‌رویه در تیر آلومینیمی با ورق CFRP.



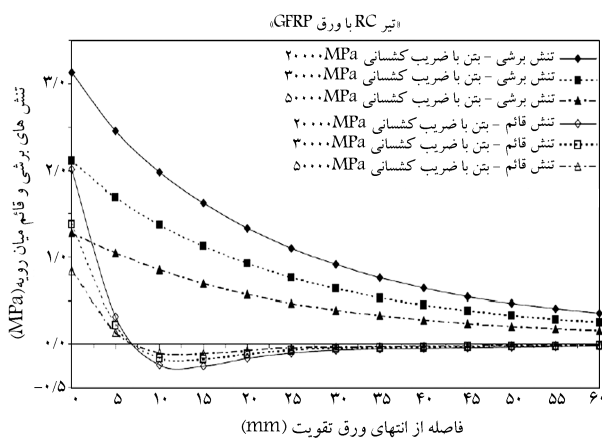
شکل ۹. اثر ضخامت ورق تقویت بر تنش‌های برشی و قائم میان‌رویه در تیر RC با ورق فولادی.



شکل ۸. اثر سختی ورق تقویت بر تنش‌های برشی و قائم میان‌رویه در تیر RC با ورق‌های CFRP، GFRP و فولادی.



شکل ۱۰. اثر ضخامت لایه‌ی چسبنده بر تنش‌های برشی و قائم میان‌رویه در تیر آلمینیومی با ورق CFRP.



شکل ۱۱. اثر ضربیب کشسانی بتن بر تنش‌های برشی و قائم میان‌رویه در تیر RC با ورق GFRP.

مقادیر تنش‌های برشی و قائم میان‌رویه افزایش می‌یابند. اثر این ضربیب بر تنش‌های قائم در سرتاسر طول ورق تقویت به جز در انتهای آن، که آن هم اثراً انگشتی دارد، کاملاً قابل چشم‌پوشی است. همچنین نتایج بررسی‌ها نشان می‌دهند که تنش‌های برشی به شدت متأثر از ضربیب کشسانی ورق تقویت است و باید در مباحث طراحی به صورت ویژه به آن توجه کرد.

## ۲.۸. ضخامت و عرض ورق تقویت

شکل ۹ اثر ضخامت ورق تقویت را بر روی تنش‌های برشی و قائم میان‌رویه، در تیر RC تقویت شده با ورق فولادی نشان می‌دهد. در اینجا از سه مقدار ۴، ۸ و ۱۶ میلی‌متر برای ضخامت ورق فولادی استفاده شده است. نتایج نمودارها بیان‌گر آن است که ضخامت ورق تقویت، نقش تعیین‌کننده‌ی در تعیین شدت تنش‌ها و تمرکز آن‌ها دارد. تنش‌های برشی و قائم میان‌رویه متناسب با افزایش ضخامت ورق تقویت افزایش می‌یابند. در مسائل عملی معمولاً ضخامت ورق‌های CFRP و GFRP کوچک‌تر از ضخامت ورق فولادی است. بنابراین، ترمیم و تقویت سازه‌ها با ورق‌های CFRP و GFRP در مقایسه با ورق‌های فولادی به سبب کاهش تراز تنش‌ها و همچنین تمرکز کسر تنش‌های میان‌رویه، مزیتی نسبی به حساب می‌آید. همچنین نتایج بررسی‌ها نشان می‌دهند که تغییرات عرض ورق تقویت در دامنه‌ی کاربردی آن، تأثیر چشمگیری بر تنش‌های برشی و قائم میان‌رویه ندارد.

## ۳.۸. ضخامت لایه‌ی چسبنده

در شکل ۱۰ اثر تغییر ضخامت لایه‌ی چسبنده بر روی تنش‌های برشی و قائم میان‌رویه در تیر آلمینیومی تقویت شده با ورق CFRP با ضخامت‌های ۲، ۴ و ۸ میلی‌متر بررسی شده است. نتایج نشان می‌دهند که تغییر ضخامت لایه‌ی چسبنده به جز در انتهای ورق تقویت، تأثیر چشمگیری بر تنش‌های برشی و قائم میان‌رویه ندارد.

## ۴.۰. ضربیب کشسانی تیر RC و ورق تقویت

در شکل ۱۱ نمودار تنش‌های برشی و قائم میان‌رویه با سه ضربیب کشسانی متفاوت ۲۰، ۳۰ و ۵۰ کیگاپاسکال برای تیر RC با ورق GFRP، R، Rسم شده است. نمودارها بیان‌گر این نکته هستند که با افزایش ضربیب کشسانی تیر RC از مقدار تنش‌های برشی و قائم میان‌رویه کاسته می‌شود. زیرا با افزایش ضربیب کشسانی تیر RC، تیر اصلی بخش عمده‌ی تنش‌ها را جذب می‌کند و مقدار کمتری از آن‌ها به لایه‌ی چسبنده و در پی آن به ورق تقویت انتقال می‌یابند. گرچه اثر ضربیب کشسانی بتن بر تنش‌های برشی میان‌رویه مشهود است، اما می‌توان از اثر آن بر تنش قائم به جز در انتهای ورق تقویت چشم‌پوشی کرد. بررسی‌ها در باره‌ی تغییرات ضربیب کشسانی ورق تقویت نشان می‌دهند که با افزایش ضربیب کشسانی ورق GFRP

CFRP و فولادی ارائه شده است. در این نوشتار روش ارائه شده، و روابط تش‌های برشی و قائم میان رویه، کلی است و برای هر نوع تیر تقویت شده‌ی تیموشنکو با ورق‌های CFRP، GFRP، فولادی و... کاربرد دارد.

۲. اختلاف نتایج روش تحلیلی ارائه شده در این نوشتار با روش‌های پیشین را می‌توان به عامل‌هایی از قبیل پارامترهای مرتبه (الف) تغییرشکل‌های برشی در هر سه المان (تیر بتنی، ورق تقویت، و لایه‌ی چسبنده)، (ب) اثرات انحنای برشی تیر بتنی، (ج) اعمال صلابت خمشی مؤثر کل مقطع مرکب نسبت داد. اختلاف تش‌های برشی به دست آمده در مقایسه با نتایج دیگر پژوهشگران در نمودارها ملحوظ‌تر از تش‌های قائم میان رویه است. دلیل آن را می‌توان در تأثیر پذیری پیشتر تش‌های برشی میان رویه از تغییرشکل‌های برشی نسبت به تش‌های قائم دانست.

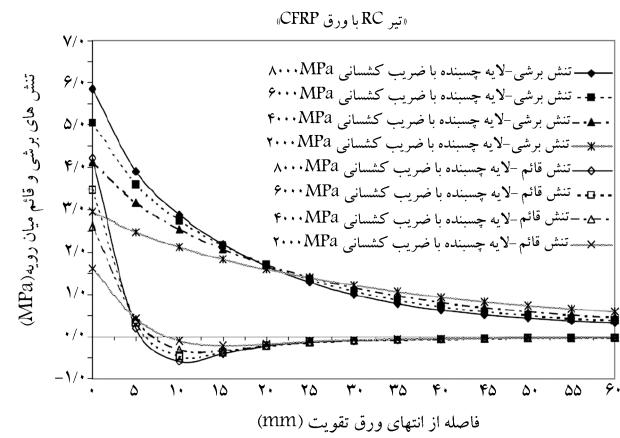
۳. عموماً پذیره‌ی جداشده‌ی، در نقاط انتهای ورق تقویت به وجود می‌آید. در این نقاط تش‌های برشی و قائم میان رویه بین بتن و لایه‌ی چسبنده به مقادیر پیشینه‌ی خود می‌رسند. در این میان، تش‌های برشی به صورت غیرخطی و به‌کندی با افزایش فاصله از نقطه‌ی انتهای ورق تقویت تا وسط آن و به تدریج از مقدار پیشینه به عدد صفر متوجه می‌شوند. همچنین تش‌های قائم مثبت در میان رویه بتن و لایه‌ی چسبنده به ویژه در نزدیکی انتهای ورق تقویت که عملکرد کششی دارند، به صورت نمائی و با فاصله‌ی اندکی از انتهای آن کاهش می‌یابند. بنابراین، تش‌های مزبور روند پذیره‌ی جداشده‌ی و شکست ناگهانی سازه را سرعت می‌بخشدند. به همین دلیل است که تش‌های قائم عامل اصلی تغییر ناگهانی سختی است و متعاقب آن در انتهای ورق تقویت، پذیره‌ی تمرکز ترک و گسترش آن رخ می‌دهد.

۴. مطالعه‌ی پارامتری تش‌های برشی و قائم در میان رویه لایه‌ی چسبنده بیان‌گر آن است که این تش‌ها در انتهای ورق تقویت متناسب با افزایش بارها و ضریب کشسانی لایه‌ی چسبنده افزایش می‌یابند. از سوی دیگر، با افزایش ضخامت لایه‌ی چسبنده در حد فاصل ورق تقویت و بتن از میزان شدت این تش‌ها در میان رویه کاسته می‌شود.

۵. شدت تش‌های برشی و قائم میان رویه متناسب با میزان کاهش سختی از ورق‌های فولادی به CFRP و سپس GFRP، همان‌گونه که انتظار می‌رود، کاهش می‌یابند.

۶. تغییرات ضخامت ورق تقویت بر میزان تمرکز و تعیین شدت تش‌های برشی و قائم میان رویه نقش کلیدی دارد. میزان افزایش این تش‌ها با افزایش ضخامت ورق تقویت متناسب است. از سوی دیگر، اثر تغییرات عرض ورق‌های تقویت در دامنه‌ی کاربرد عملی آن‌ها بر تش‌های میان رویه بسیار ناچیز است.

۷. تش‌های برشی و قائم میان رویه به شدت از ضرایب کشسانی تیر بتنی و ورق تقویت تأثیر می‌پذیرند (بر عکس یکدیگر). با افزایش ضریب کشسانی بتن، تش‌های برشی میان رویه کاهش می‌یابند، در حالی که با افزایش ضریب کشسانی ورق تقویت به مقدار این تش‌ها افزوده می‌شود. افزایش ضریب کشسانی تیر بتنی اثر کاهشی و افزایش ضریب کشسانی ورق تقویت اثر افزایشی بر تش‌های قائم میان رویه دارند. به هر حال از اثر تغییرات این ضرایب بر تش‌های قائم میان رویه به جز در انتهای ورق تقویت می‌توان چشم‌پوشی کرد.



شکل ۱۲. اثر ضریب کشسانی لایه‌ی چسبنده بر تش‌های برشی و قائم میان رویه در تیر RC با ورق CFRP.

## ۵.۸. ضریب کشسانی لایه‌ی چسبنده

لایه‌ی چسبنده از مصالحی نسبتاً نرم و ایزوتروپ ساخته می‌شود و سختی نسبتاً کوچکی دارد. در اینجا تحلیل تش‌های برشی و قائم میان رویه با بهکارگیری ضریب کشسانی ۲، ۴، ۶ و ۸ گیگاپاسکال برای لایه‌ی چسبنده و ثابت پنداشتن نسبت پواسون آن، در تیر RC با ورق CFRP بررسی شده است. نتایج عددی در شکل ۱۲ نشان می‌دهند که تغییرات ضریب کشسانی چسب به جز در نقاط نزدیک انتهای ورق تقویت، اثر چندانی بر تش‌های برشی و قائم میان رویه ندارد. در نقاط نزدیک انتهای ورق تقویت، تش‌های میان رویه متناسب با افزایش ضریب کشسانی لایه‌ی چسبنده، افزایش می‌یابند.

## ۹. نتیجه‌گیری

عملکرد مکانیکی میان رویه بین بتن و ورق تقویت، به ویژه توزیع تش‌های برشی و قائم در سه جزء بتن، لایه‌ی چسبنده و ورق تقویت در انتهای اتصال آن‌ها به یکدیگر به عوامل متعددی وابسته است. نکات حائز اهمیت در حد مطالعه‌ی انجام‌گرفته به این شرح است:

۱. در این پژوهش اثر تغییرشکل‌های برشی در تعیین تش‌های برشی و قائم میان رویه در تیر تقویت شده تیموشنکو با ورق‌های CFRP، GFRP و فولادی بررسی شده است. روش‌های موجود، تاکنون اثرات تغییرشکل‌های برشی را به طور کامل در معادلات دیفرانسیل حاکم بر سیستم وارد نکرده‌اند. گرچه در برخی از روش‌های موجود، این اثرات به شکل ناقص در معادلات دیفرانسیل حاکم وارد شده است، اما در یافتن پاسخ تش‌های میان رویه، یا از اثرات تغییرشکل‌های برشی چشم‌پوشی شده و یا به حل تقریبی معادلات دیفرانسیل اکتفا شده است. درنهایت این روش‌ها به نتایج تقریبی منجر شده‌اند. به هر حال وارد کردن اثرات تغییرشکل‌های برشی، معادلات دیفرانسیل حاکم بر سیستم را به صورت پیچیده و درگیر تبدیل می‌کند. از این رو پاسخ‌های به دست آمده برای تش‌های برشی و قائم میان رویه پیچیده خواهد بود. با وجود این مشکلات، پاسخ‌های تحلیلی دقیق برای تش‌های میان رویه در تیرهای RC تقویت شده با ورق‌های GFRP، CFRP تقویت شده با ورق‌های

## پانوشت

1. reinforced concrete(RC)
2. fibre reinforced polymer(FRP)
3. uniform distributed load(UDL)
4. glass fibre reinforced polymer(GFRP)
5. carbon fibre reinforced polymer(CFRP)
6. aluminium(AL)

## (References) منابع

1. Smith, S.T. and Teng, J.G. "Interfacial stresses in plated beams", *Engineering Structures*, **23**(7), pp. 857-871 (2001).
2. Yang, J. and Wu, Y.F. "Interfacial stresses of FRP strengthened concrete beams: Effect of shear deformation", *Composite Structures*, **80**(3), pp. 343-351 (2007).
3. Tounsi, A.; Hassaine, D.T.; Benyoucef, S. and Adda, B.E.A. "Interfacial stresses in FRP-plated RC beams: Effect of adherend shear deformations", *International Journal of Adhesion & Adhesives*, **29**, pp. 343-351 (2009).
4. Roberts, T.M. "Approximate analysis of shear and normal stress concentrations in the adhesive layer of plated RC beams", *Structural Engineering*, **67**(12), pp. 229-233 (1989).
5. Roberts, T.M. and Haji-Kazemi, H. "Theoretical study of the behavior of reinforced concrete beams strengthened by externally bonded steel plates", *Proc. Instn. Civil Engineers, Paper 9344, Structural Engineering Group, Part. 2*, **87**, pp. 39-55 (1989).
6. Malek, A.M.; Saadatmanesh, H. and Ehsani, M.R. "Prediction of failure load of R/C beams strengthened with FRP plate due to stress concentration at the plate end", *ACI Structural Journal*, **95**(2), pp. 142-152 (1998).
7. Vilnay, O. "The analysis of reinforced concrete beams strengthened by epoxy bonded steel plates", *International Journal of Cement Composite and Lightweight Concrete*, **10**(2), pp. 73-78 (1988).
8. Chajes, M.J.; Thomson, T.A.; Januszka, T.F. and Finch, W.W. "Flexural strengthening of concrete beams using externally bonded composite materials", *Construction and Building Materials*, **8**(3), pp. 191-201 (1994).
9. Taljsten, B. "Strengthening of beams by plate bonding", *Journal of Materials in Civil Engineering*, **9**(4), pp. 206-212 (1997).
10. Etman, E.E. and Beeby, A.W. "Experimental programme and analytical study of bond stress distributions on a composite plate bonded to a reinforced concrete beam", *Cement and Concrete Composites*, **22**(4), pp. 281-291 (2000).
11. Rabinovitch, O. and Frostig, Y. "Closed-form high-order analysis of RC beams strengthened with FRP strips", *Journal of Composites for Construction*, **4**(2), pp. 65-74 (2000).
12. Rabinovitch, O. and Frostig, Y. "Delamination failure of RC beams strengthened with FRP strip -a closed-form high-order and fracture mechanics approach", *Journal of Engineering Mechanics*, **127**(8), pp. 852-861 (2001).
13. Maalej, M. and Bian, Y. "Interfacial shear stress concentration in FRP strengthened beams", *Composite Structures*, **54**, pp. 417-426 (2001).
14. Ye, J.Q. "Interfacial shear stress transfer of RC beams strengthened by bonded composite plates", *Cement and Concrete Composites*, **23**(4-5), pp. 411-417 (2001).
15. Shen, H.S.; Teng, J.G. and Yang, J. "Interfacial stresses in beams and slabs bonded with thin plate", *Journal of Engineering Mechanics*, **127**(4), pp. 399-406 (2001).
16. Teng, J.G.; Zhang, J.W. and Smith, S.T. "Interfacial stresses in reinforced concrete beams bonded with a soffit plate: A finite element study", *Construction and Building Materials*, **16**(1), pp. 1-14 (2002).
17. Yang, Q.S.; Peng, X.R. and Kwan, A.K.H. "Finite element analysis of interfacial stresses in FRP-RC hybrid beams", *Mechanics Research Communications*, **31**(3), pp. 331-340 (2004).
18. Maalej, M. and Leong, K.S. "Effect of beam size and FRP thickness on interfacial shear stress concentration and failure mode of FRP strengthened beams", *Composite Science and Technology*, **65**(7-8), pp. 1148-1158 (2005).
19. Wu, Z.S.; Yuan, H.; Kojima, Y. and Ahmed, E. "Experimental and analytical studies on peeling and spalling resistance of unidirectional FRP sheets bonded to concrete", *Composite Science and Technology*, **65**(7-8), pp. 1088-1097 (2005).
20. Tounsi, A. "Improved theoretical solution for interfacial stresses in concrete beams strengthened with FRP plate", *International Journal of Solids and Structures*, **43**(14-15), pp. 4154-4174 (2006).
21. Yuan, H.; Chen, J.F.; Teng, J.G. and Lu, X.Z. "Interfacial stress analysis of a thin plate bonded to a rigid substrate and subjected to inclined loading", *International Journal of Solids and Structures*, **44**, pp. 5247-5271 (2007).
22. Li, L.J.; Guo, Y.C.; Huang, P.Y.; Liu, F.; Deng, J. and Zhu, J. "Interfacial stress analysis of RC beams strengthened with hybrid CFS and GFS", *Construction and Building Materials*, doi:10.1016/j.conbuildmat.2008.10.006 (2008).
23. Gere, J.M. and Timoshenko, S.P. "Mechanics of materials", *Brooks/Cole Engineering Division, Monterey, California, Printed in the United States of America* (1984).
24. Stafford Smith, B. and Coull, A. (Translated into Persian by Haji-Kazemi, H.) "Tall building structures: Analysis and Design", *Ferdowsi University of Mashhad Press, Mashhad, Iran* (1996).

ثابت‌های  $C_1, C_2, C_3$  را می‌توان به کمک روابط زیر به دست آورد:

$$\begin{cases} R_{11} = hh(m_1 + \sqrt{m_1} m_1^{(r/r)} + m_r m_1 + m_r^{(r/r)} \sqrt{m_1} + m_r^r) \\ R_{12} = hh(m_1 + \sqrt{m_1} m_1^{(r/r)} + m_r m_1 + m_r^{(r/r)} \sqrt{m_1} + m_r^r) \\ R_{13} = hh(m_1 + \sqrt{m_1} m_1^{(r/r)} + m_r m_1 + m_r^{(r/r)} \sqrt{m_1} + m_r^r) \end{cases} \quad (A-4)$$

$$\begin{cases} R_{14} = d_s(c_s^r + m_r m_1)(f_{11} + R_1) \\ R_{15} = d_s(c_s^r + m_1 m_r)(f_{11} + R_r) \\ R_{16} = d_s(c_s^r + m_1 m_r)(f_{11} + R_r) \end{cases} \quad (A-10)$$

$$\begin{cases} R_{17} = d_s(m_r + m_r)(f_{11} + R_1) \\ R_{18} = d_s(m_1 + m_r)(f_{11} + R_r) \\ R_{19} = d_s(m_1 + m_r)(f_{11} + R_r) \end{cases} \quad (A-11)$$

$$\begin{cases} R_{11} = e_s(f_f + g_g) + R_{11} \\ R_{12} = e_s(f_f + g_g) + R_{11} \\ R_{13} = e_s(f_f + g_g) + R_{11} \end{cases} \quad (A-12)$$

$$\begin{cases} R_{14} = (-Cte m_r m_r - d_s(mm m_r^r + R_{15} - R_{16} + R_{17}))b_s \\ R_{15} = (-Cte m_1 m_r - d_s(mm m_1^r + R_{16} - R_{17} + R_{18}))b_s \\ R_{16} = (-Cte m_1 m_r - d_s(mm m_1^r + R_{17} - R_{18} + R_{19}))b_s \end{cases} \quad (A-13)$$

$$\begin{cases} R_{11} = c_s(b_s(d_s(R_{11} + R_{12}) - Cte\sqrt{m_1 m_r}) - R_{13}) \\ R_{12} = c_s(b_s(d_s(R_{11} + R_{12}) - Cte\sqrt{m_1 m_r}) - R_{13}) \end{cases} \quad (A-14)$$

$$\begin{cases} R_{13} = c_s(b_s(d_s(R_{11} + R_{12}) - Cte\sqrt{m_1 m_r}) - R_{13}) \\ W_r = (d_s e_s(hh + mm)b_s^r + R_{14} + R_{15} + R_{16})a_s^r \\ W_d = (d_s e_s(hh + mm)b_s^r + R_{15} + R_{16} + R_{17})a_s^r \\ W_s = (d_s e_s(hh + mm)b_s^r + R_{16} + R_{17} + R_{18})a_s^r \end{cases} \quad (A-15)$$

$$\begin{cases} R_{14} = d_s(e_s f_{11} - R_{11}) \\ R_{15} = d_s(e_s f_{11} - R_{12}) \\ R_{16} = d_s(e_s f_{11} - R_{11}) \end{cases} \quad (A-16)$$

$$\begin{cases} R_{17} = Cte\sqrt{m_1 m_r}(m_r - \sqrt{m_1 m_r} + m_r) \\ R_{18} = Cte\sqrt{m_1 m_r}(m_1 - \sqrt{m_1 m_r} + m_r) \\ R_{19} = Cte\sqrt{m_1 m_r}(m_1 - \sqrt{m_1 m_r} + m_r) \end{cases} \quad (A-17)$$

$$\begin{cases} R_{11} = d_s e_s(f_{11}(\sqrt{m_1} + \sqrt{m_r})(m_r + m_r) + \sqrt{m_1 m_r} \\ \quad (f_{11} + (ff + gg)(m_r + \sqrt{m_1 m_r} + m_r))) \\ R_{12} = d_s e_s(f_{11}(\sqrt{m_1} + \sqrt{m_r})(m_1 + m_r) + \sqrt{m_1 m_r} \\ \quad (f_{11} + (ff + gg)(m_1 + \sqrt{m_1 m_r} + m_r))) \\ R_{13} = d_s e_s(f_{11}(\sqrt{m_1} + \sqrt{m_r})(m_1 + m_r) + \sqrt{m_1 m_r} \\ \quad (f_{11} + (ff + gg)(m_1 + \sqrt{m_1 m_r} + m_r))) \end{cases} \quad (A-18)$$

$q = Uniform Distributed Load (UDL)$ .

$$\begin{cases} f_{11} = -\frac{G_a}{t_a} \left( \frac{y_1 + y_r}{E_1 I_1 + E_r I_r} + \frac{t_a}{(EI)_t} \right) q L_p \\ f_{1r} = -\frac{G_a}{t_a} \left( \frac{y_1 + y_r}{E_1 I_1 + E_r I_r} + \frac{t_a}{(EI)_t} \right) q \\ g_{11} = -\frac{E_a}{t_a} \frac{\lambda}{E_1 I_1} q \\ Cte = -a_s g_{11} + e_s f_{11} \end{cases} \quad (A-19)$$

$$\begin{cases} R_1 = (ff + gg)(m_r + m_r) \\ R_r = (ff + gg)(m_1 + m_r) \\ R_s = (ff + gg)(m_1 + m_r) \end{cases} \quad (A-20)$$

$$\begin{cases} R_t = (ff + gg)m_r m_r \\ R_d = (ff + gg)m_1 m_r \\ R_s = (ff + gg)m_1 m_r \end{cases} \quad (A-21)$$

$$\begin{cases} R_v = (ff + gg)c_s^r + (-R_1 + b_s(hh + mm))c_s \\ R_h = (ff + gg)c_s^r + (-R_r + b_s(hh + mm))c_s \\ R_s = (ff + gg)c_s^r + (-R_t + b_s(hh + mm))c_s \end{cases} \quad (A-22)$$

$$\begin{cases} R_{11} = hh(m_r + \sqrt{m_r m_r} + m_r) + m_r mm \\ R_{12} = hh(m_1 + \sqrt{m_1 m_r} + m_r) + m_1 mm \\ R_{13} = hh(m_1 + \sqrt{m_1 m_1} + m_r) + m_1 mm \end{cases} \quad (A-23)$$

$$\begin{cases} R_{14} = (\sqrt{m_r} + \sqrt{m_r})(\sqrt{m_r} mm + nn + rr) \\ R_{15} = (\sqrt{m_1} + \sqrt{m_r})(\sqrt{m_r} mm + nn + rr) \\ R_{16} = (\sqrt{m_1} + \sqrt{m_r})(\sqrt{m_r} mm + nn + rr) \end{cases} \quad (A-24)$$

$$\begin{cases} W_1 = d_s(R_t + R_v - b_s(R_{11} + R_{12}))a_s^r \\ W_r = d_s(R_d + R_h - b_s(R_{11} + R_{12}))a_s^r \\ W_s = d_s(R_s + R_t - b_s(R_{11} + R_{12}))a_s^r \end{cases} \quad (A-25)$$

$$\begin{cases} R_{17} = R_{11}(m_r + m_r) \\ R_{18} = R_{12}(m_1 + m_r) \\ R_{19} = R_{13}(m_1 + m_r) \end{cases} \quad (A-26)$$

$$\begin{cases} R_{11} = e_s(\sqrt{m_r m_r}(ff + gg) + f_{11}(\sqrt{m_r} + \sqrt{m_r})) \\ R_{12} = e_s(\sqrt{m_1 m_r}(ff + gg) + f_{11}(\sqrt{m_1} + \sqrt{m_r})) \\ R_{13} = e_s(\sqrt{m_1 m_1}(ff + gg) + f_{11}(\sqrt{m_1} + \sqrt{m_1})) \end{cases} \quad (A-27)$$

$$\begin{cases} Z_{\text{v}} = (a_{\circ} - m_{\text{v}})(W_{\text{v}} - W_{\text{r}} + W_{\text{y}} + W_{\text{w}}) \\ Z_{\text{r}} = -(a_{\circ} - m_{\text{r}})(W_{\text{r}} - W_{\text{d}} + W_{\text{w}} + W_{\text{w}}) \\ Z_{\delta} = (a_{\circ} - m_{\text{r}})(W_{\text{r}} - W_{\text{f}} + W_{\text{v}} + W_{\text{w}}) \end{cases} \quad (\text{A-۱۳})$$

$$\begin{cases} S_{\text{v}} = a_{\circ}^{\text{r}} b_{\circ} d_{\circ} (\sqrt{m_{\text{v}}} - \sqrt{m_{\text{r}}})(\sqrt{m_{\text{v}}} - \sqrt{m_{\text{r}}}) \\ S_{\text{r}} = a_{\circ}^{\text{r}} b_{\circ} d_{\circ} (\sqrt{m_{\text{v}}} - \sqrt{m_{\text{r}}})(\sqrt{m_{\text{r}}} - \sqrt{m_{\text{r}}}) \\ S_{\delta} = a_{\circ}^{\text{r}} b_{\circ} d_{\circ} (\sqrt{m_{\text{v}}} - \sqrt{m_{\text{r}}})(\sqrt{m_{\text{r}}} - \sqrt{m_{\text{r}}}) \end{cases} \quad (\text{A-۱۴})$$

$$\begin{cases} S_{\text{r}} = c_{\circ} + \sqrt{m_{\text{v}}}(\sqrt{m_{\text{v}}} + \sqrt{m_{\text{r}}}) + \sqrt{m_{\text{v}} m_{\text{r}}} \\ S_{\delta} = (S_{\text{r}}(c_{\circ} - m_{\text{v}} - m_{\text{r}} - m_{\text{r}}) - b_{\circ} e_{\circ}) a_{\circ} \\ S_{\text{f}} = (\sqrt{m_{\text{v}}} + \sqrt{m_{\text{r}}})(-c_{\circ} + m_{\text{v}} + m_{\text{r}}) m_{\text{r}}^{(\text{v}/\text{r})} + \\ \sqrt{m_{\text{v}} m_{\text{r}}}(-c_{\circ} + m_{\text{v}} + m_{\text{r}} + \sqrt{m_{\text{v}} m_{\text{r}}}) m_{\text{r}} \\ S_{\text{y}} = b_{\circ} e_{\circ} (-c_{\circ} + m_{\text{v}} + m_{\text{r}} + \sqrt{m_{\text{v}} m_{\text{r}}} + \sqrt{m_{\text{v}} m_{\text{r}}}) + m_{\text{r}} + \\ \sqrt{m_{\text{v}} m_{\text{r}}} \\ S_{\text{w}} = (c_{\circ} - m_{\text{v}})(c_{\circ} - m_{\text{r}})(\sqrt{m_{\text{v}}}(\sqrt{m_{\text{v}}} + \sqrt{m_{\text{r}}}) + \sqrt{m_{\text{v}} m_{\text{r}}}) \end{cases} \quad (\text{A-۱۵})$$

$$\begin{cases} M_{\text{v}} = S_{\text{v}}(S_{\text{r}} a_{\circ}^{\text{r}} + S_{\delta} + S_{\text{f}} + S_{\text{y}} + S_{\text{w}}) \\ M_{\text{r}} = S_{\text{r}}(S_{\text{r}} a_{\circ}^{\text{r}} + S_{\delta} + S_{\text{f}} + S_{\text{y}} + S_{\text{w}}) \\ M_{\delta} = S_{\text{r}}(S_{\text{r}} a_{\circ}^{\text{r}} + S_{\delta} + S_{\text{f}} + S_{\text{y}} + S_{\text{w}}) \end{cases} \quad (\text{A-۱۶})$$

$$\begin{cases} C_{\text{v}} = \frac{Z_{\text{v}}}{M_{\text{v}}} \\ C_{\text{r}} = \frac{Z_{\text{r}}}{M_{\text{r}}} \\ C_{\delta} = \frac{Z_{\delta}}{M_{\delta}} \end{cases} \quad (\text{A-۱۷})$$

$$\begin{cases} R_{\text{r}\text{v}} = d_{\circ}(c_{\circ} - m_{\text{r}})(c_{\circ} - m_{\text{r}})(R_{\text{v}} + f_{\text{v}\text{r}}(m_{\text{v}} + m_{\text{r}})) \\ R_{\text{d}\text{v}} = d_{\circ}(c_{\circ} - m_{\text{v}})(c_{\circ} - m_{\text{r}})(R_{\text{v}} + f_{\text{v}\text{r}}(m_{\text{v}} + m_{\text{r}})) \\ R_{\text{d}\text{r}} = d_{\circ}(c_{\circ} - m_{\text{v}})(c_{\circ} - m_{\text{r}})(R_{\text{r}} + f_{\text{v}\text{r}}(m_{\text{v}} + m_{\text{r}})) \end{cases} \quad (\text{A-۱۸})$$

$$\begin{cases} R_{\text{d}\text{r}} = (Cte \sqrt{m_{\text{v}} m_{\text{r}}} c_{\circ}^{\text{r}} + (R_{\text{v}\text{v}} - R_{\text{v}\text{r}}) c_{\circ} - \\ Cte m_{\text{v}} m_{\text{r}}(m_{\text{v}} + m_{\text{r}}) + R_{\text{v}\text{f}}) b_{\circ} \\ R_{\text{d}\text{v}} = (Cte \sqrt{m_{\text{v}} m_{\text{r}}} c_{\circ}^{\text{v}} + (R_{\text{v}\text{v}} - R_{\text{v}\text{r}}) c_{\circ} - \\ Cte m_{\text{v}} m_{\text{r}}(m_{\text{v}} + m_{\text{r}}) + R_{\text{v}\text{f}}) b_{\circ} \\ R_{\text{d}\text{f}} = (Cte \sqrt{m_{\text{v}} m_{\text{r}}} c_{\circ}^{\text{f}} + (R_{\text{v}\text{v}} - R_{\text{v}\text{f}}) c_{\circ} - \\ Cte m_{\text{v}} m_{\text{r}}(m_{\text{v}} + m_{\text{r}}) + R_{\text{v}\text{f}}) b_{\circ} \end{cases} \quad (\text{A-۱۹})$$

$$\begin{cases} W_{\text{v}} = (-Cte e_{\circ} \sqrt{m_{\text{v}} m_{\text{r}}} b_{\circ}^{\text{v}} + R_{\text{d}\text{v}} + R_{\text{v}\text{v}}) a_{\circ} \\ W_{\text{r}} = (-Cte e_{\circ} \sqrt{m_{\text{v}} m_{\text{r}}} b_{\circ}^{\text{r}} + R_{\text{d}\text{r}} + R_{\text{v}\text{r}}) a_{\circ} \\ W_{\text{w}} = (-Cte e_{\circ} \sqrt{m_{\text{v}} m_{\text{r}}} b_{\circ}^{\text{w}} + R_{\text{d}\text{w}} + R_{\text{v}\text{w}}) a_{\circ} \end{cases} \quad (\text{A-۲۰})$$

$$\begin{cases} W_{\text{v}\text{v}} = (b_{\circ} Cte - d_{\circ} f_{\text{v}\text{v}}) \sqrt{m_{\text{v}} m_{\text{r}}} ((c_{\circ} - m_{\text{v}}) \sqrt{m_{\text{v}} m_{\text{r}}} (c_{\circ} - m_{\text{v}}) + \\ b_{\circ} e_{\circ} (-c_{\circ} + m_{\text{v}} + m_{\text{r}} + \sqrt{m_{\text{v}} m_{\text{r}}})) \\ W_{\text{v}\text{r}} = (b_{\circ} Cte - d_{\circ} f_{\text{v}\text{r}}) \sqrt{m_{\text{v}} m_{\text{r}}} ((c_{\circ} - m_{\text{v}}) \sqrt{m_{\text{v}} m_{\text{r}}} (c_{\circ} - m_{\text{v}}) + \\ b_{\circ} e_{\circ} (-c_{\circ} + m_{\text{v}} + m_{\text{r}} + \sqrt{m_{\text{v}} m_{\text{r}}})) \\ W_{\text{v}\text{w}} = (b_{\circ} Cte - d_{\circ} f_{\text{v}\text{w}}) \sqrt{m_{\text{v}} m_{\text{r}}} ((c_{\circ} - m_{\text{v}}) \sqrt{m_{\text{v}} m_{\text{r}}} (c_{\circ} - m_{\text{v}}) + \\ b_{\circ} e_{\circ} (-c_{\circ} + m_{\text{v}} + m_{\text{r}} + \sqrt{m_{\text{v}} m_{\text{r}}})) \end{cases} \quad (\text{A-۲۱})$$

# **EXACT ANALYTICAL SOLUTION OF INTERFACIAL STRESSES IN STRENGTHENED RC BEAMS USING SOFFIT PLATES**

**M. Edalati\***

edalati.mahmoud@mail.ilam.ac.ir

**Faculty of Engineering  
Ilam University**

**F. Irani**

irani@um.ac.ir

**Dept. of Civil Engineering  
Ferdowsi University of Mashhad**

Sharif Civil Engineering Journal

Volume 28, Issue 2, Page 13-26, Original Article

© Sharif University of Technology

## **Abstract**

This paper introduces an exact method to calculate interfacial shear and normal stresses in strengthened reinforced concrete (RC) beams by fiber reinforced polymer (FRP) sheets or steel plates (e.g. a soffit plate). As the combination of maximum interfacial shear and normal stresses is localized at the end of the soffit plate, the debonding phenomena initiates at that position and may produce a sudden failure of the structure. The effects of shear deformations are perfectly considered in the RC beam, adhesive layer and soffit plate. Thus, the composite RC beam is assumed as a Timoshenko beam. Application of shear deformations in the Timoshenko beam ends in a pair of simultaneous fourth-order and second-order ordinary differential equations. These equations

in engineering literature are called coupled differential equations. These coupled equations are solved in an analytical form, without omitting any part of them. In a strengthened Timoshenko RC beam, the shear curvature should be added to the bending curvature. The Timoshenko beam assumption makes it possible to use this solution for both ordinary beams and short-span beams (while considering the shear deformations). In order to reduce the shear rigidity, especially in short-span beams, the equivalent flexural rigidity should be used instead of the actual flexural rigidity. Disregarding this reduction coefficient leads to incorrect results in short-span beams with a span-to-depth ratio less than five, and to an inaccurate solution in ordinary beams. In beams with a sandwich-like construction, the increase in deflection due to the shear deformation effect may be as great as 50 percent. An increase in the deformation before debonding causes a significant rise in the interfacial shear and the normal stresses, particularly between sandwich layers. The present paper helps to realize the effects of interfacial stresses on the behavior of strengthening RC structures by FRP sheets or steel plates. Finally, the concordance of the obtained and existing results proves that the accuracy of the proposed approach towards predicting interfacial shear and normal stresses is quite acceptable.

**Key Words:** interfacial shear and normal stresses, soffit plates (FRP sheet or steel plate), RC beam, coupled differential equations.

---

\* corresponding author

Received 16 February 2010; received in revised form 09 March 2011; accepted 11 April 2011